

Ca - Si - O

V 3679

1933

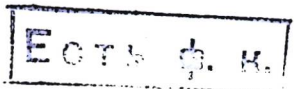
von Gronow, Schwierte H.E.

Z. anorg. Chem., 1933, 216, 185-196

Al_2O_3 , CaO , $\text{CaO} \cdot \text{Al}_2\text{O}_3$, CaCO_3 , $3\text{CaO} \cdot \text{Al}_2\text{O}_3$,
 $2\text{CaO} \cdot \text{SiO}_2$, $3\text{CaO} \cdot \text{SiO}_2$, $2\text{CaO} \cdot \text{Al}_2\text{O}_3 \cdot \text{SiO}_2$ (Cp)

Be

F



IX - 1034

1933

2 CaO · SiO₂ (Tr)

Sundius N.

Z. anorgan. und allgemeine Chem.,

1933, 213, 343 - 352

5

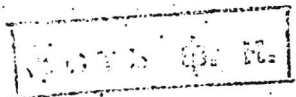
TK 2191.

1936

2CaO·SiO₂ (ΔH_f , ΔH_{tx})

von Geronov M. E.

Zement, 1936, 25, 61-2



11,5

C. A., 1937, 2/236⁶

IX 1702

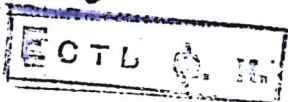
1954

CaO; SiO₂ · 2CaO; SiO₂ · 3CaO (55)

Shadlock H. A.,

J. Phys. Chem., 1937, 41, 625-8

etc.



C.A., 1937, 60968

IX 2446

1947

ΔH_f ($\text{CaO} \cdot 2\text{SiO}_2$)

~~Proceedings of the All-Union Conference
on Thermodynamics of Silicates~~

~~J. Applied Chem. (U.S.S.R.)~~ 1947, 20,
327-30 (in Russian)

"Heats of formation of oxides
and of silicates"

C.A., 1948, 1796h

μ, β

~~error~~
~~97%~~

MB

У 320

S(Ca₂SiO₄ ; Sr₂SiO₄; Ba₂SiO₄; Be(CrO₂)₂; 1948
Ca(CrO₂); Sr(CrO₂); Ba(CrO₂)₂; Na₂O; K₂O;
Tl₂O; Na₂PtCl₆; HJO₃; HClO₃; HBrO₃)

Киреев В.А.

Журн.Физ.химии 1948, 22, 847-58

Условия применения правил аддитивности для вычисления энтропии неорганических соединений.

С.А., 1948, 8602e

Бест ф.с.

Ca_xSi_y

BP 2513-18]

1948

Бачинец Ф. У.

δH_{f_2}

Докт. Академия CCCР, 1948, 59,
Б21-4

Ca₂SiO₄

B92-320-IV 1948

Kufeeb B.H.

packer

surfaces

"M. φ. d."

1948, 22, 847-58

Ca_2SiO_4

B9 - 1900 - IX

1950

Breedig M. A.

(T_{z_2}) J. Am. Ceram. Soc., 1950, 33,
188-192

IV 2354

1949

Trömel G. $\text{Ca}_2\text{SiO}_4(\text{Tr})$

Naturwissenschaften, 1949,

36, 88.

5

C.A., 1950, 44, 37648

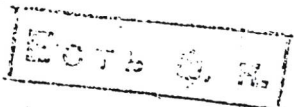
IX 1900 ¹⁹⁵⁰
Ca₂SiO₅ (Tet)

Breeding M. F.

J. Am. Ceram. Soc., 1950, 33,

180 - 190

5

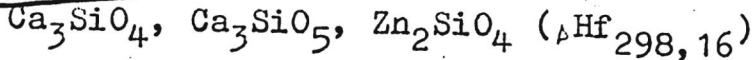


C.A., 1950, 44, 7700h

1951

BEP

V 1071



King E.G.

J.Am.Chem.Soc., 1951, 73, 656-8

Heats of formation of crystalline
calcium orthosilicade, tricalcium
silicate, and zinc orthosilicate

W, M

E.C.T.L. 4. 84
C.A., 1951, 4546b

F

18 1469

1951

$2\text{CaO} \cdot \text{SiO}_2$, $\text{CaO} \cdot \text{SiO}_2$, $2\text{CaO} \cdot \text{Al}_2\text{O}_3 \cdot \text{SiO}_2$;
 FeO (Tm)

Muan A., Osborn E. F.,

yearbook Amer. Iron. Steel Inst.

1951, 325-360

5

C.A., 1952, 46, N10, 4445g

V 1072

1951

Ca_2SiO_4 , Zn_2SiO_4 , Ca_3SiO_5 (Cp, S, AFE)

Todd S.S.

J.Am.Chem.Soc., 1951, 73, 3277-8

Low-temperature heat capacities and
entropies at 298, 16°K of crystalline
calcium orthosilicate, zinc orthosilicate,
and tricalcium silicate

Be

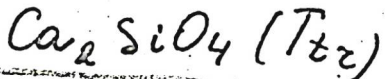


CoAg 1951, 2869c

P

X 235%

1951



Troemel G.; Moeller H.

Silicates Ind, 1951, 16, 300.4

5

C.A., 1952, 46, No. 38411.

Ca₂SiO₄, Ca₃SiO₅ + gp Σ 2645 1952
— (OH)

Tanguay H.A., Miquelon -
Terreiroche O. Tl.,

N.C. phys. minéral, 1952, 26,
1785-90

ll

C.J., 1953, 6231e

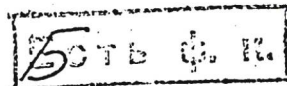
IX 1911

1953

Ca_2SiO_4 (Ttr)

Bressi L.

Ricerca Scient., 1953, 23, n. 11,
600-604



P.X., 1954, n. 21, 46061

IX 1281

1953

Ca_2SiO_3 ; Ca_2SiO_4 ; Ca_3SiO_5 (Ti_xTi_y)

Keyser W. L. de,

Bull. Ac. chimi. belges., 1953, 62,
N° 3-4, 235-52

5

TEOTR

P.X., 1954, N° 6, 20540

IX 4443

1953

Ca₂SiO₄ (Tet)

Metzger A.,

Zement-Kalk-Gips, 1953, 6, N8,

269-70

6

P.X., 1954, N8, 24156

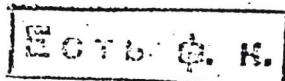
IX 1642

1953

Ca₂SiO₅ (T₂)

Saalfeld R.;

Newes. Jahrb. Mineralogie
(Monatsh), 1953, N3-4, 82-90



Б

P.X, 1956, N4, 42397

IX 2316

1953

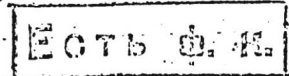
Ca₂SiO₄(Tz)

Philo E, Fuerk fl,

naturwissenschaften, 1953,

40, 241-2

5



C.A., 1954, 18f.

58 IX - 1917

1954

Ca_2SiO_4 , Ca_3SiO_5 (offag, offf)

Brunauer S., Hayes J.C.,

J. Phys. Chem., 1954, 58, n^o3, 279-285

B

Préc. 1955, n^o22, 57447

ecr Q.K

X 2237 1954
Ca₃SiO₅, Ca₂SiO₄ (D Haq)
Moyses J. C.; Mass W. E.,

J. Phys. Chem., 1954, 58,
279-85

B

C.A., 1954, 7415a

IX 2806

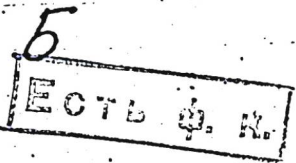
1954

$\text{Ca}_2\text{SiO}_5(\text{Ttr})$

Поронов Н. А., Коновалов П. Г.

Зоринов А. И., Акашев Г. В.

Чесменск, 1954, №, 17-20



Р.Х., 1955, №, 9084

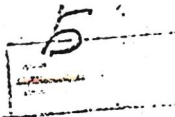
Bp-PC 1537

1955

5600. 5 SiO₂ · H₂O; 2CaO · 5 · O₂ · H₂O/Tz,

Pepples R.B.,

J. Res. Nat. Bur. Standards, 1955,
54, N4, 205-11

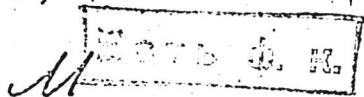


P.K., 1955, N22, 52566

Co₃SiO₅ (AH)) IX. 1918 1956

Brunauer S., Kastner D. 2,
Weise C.H.,

J. Phys. Chem.; 1956, 60, N6,
271-274.



P.X.; 1954, 33873

IR 2663

1956

3CaSiO₃·H₂O; 5CaSiO₃·H₂O (z_{xy})

Марегоб X.C., Басеб H.B.,

Jan. Бел. экспедиція. О. ба, 1956.

85, N₁, 13-38

III

P.K., 1956, N₂₂, 70963

BGP IX - 1494

1956

$5\text{CaO} \cdot 5\text{SiO}_2 \cdot \text{H}_2\text{O}$, $2\text{CaO} \cdot \text{SiO}_2 \cdot \text{H}_2\text{O}$
 $5\text{CaO} \cdot 3\text{SiO}_2 \cdot 3\text{H}_2\text{O}$ (ΔH_f , $\Delta H_{\text{p,abs}}$, δ
 $\text{HNO}_3 + \text{HF}$)

Newman E.S.,
g. Res. Nat. Bur. Standards,
1956, 57, N1, ● 27-30.

IX 1628

1956

Ca SiO₄ (Tic)

Roy D.M.

Mineral. Mag., 1956, 31,
N233, 187-194.

5

Mineral. Mag.

P.X., 1957, 50733

Rejestr IX 3669 1956

CaSO₄ (α H₂O); Ca₂SiO₄, Ca₃SiO₃, CaSO₄
(β C)

Tuzebiatorski W.,
Dannus J., Romotowski T.,

Rozpr. Chem. 1956, 30, N^o2, 431-441,

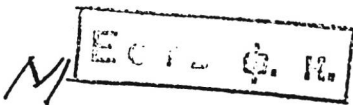


P.K., 1958, N^o22, 73236

cc

Ca_2SiO_4 , (ΔG) u.g.p. IX 2358 1956

Trzebiatowski W.,
Damm J., Romotowski T.,
Roszcz. Chem., 1956, 30, N^o 1,
443-454.



IX-1500

~~111111111111~~

1956

2CaO·SiO₂, 3CaO·P₂O₅, CaO·SiO₂ (T_{tr})

Wojciechowska J., Bacak J.

Trzebiciawski W.

Roczn. chem., 1956, 30, n/3, ~~monographia~~

1954-71.

6

P.K., 1958, N5, 1376.2

Карлик, О'Брайен 1957

Ca_2SiO_4

Coughlin J.P., O'Brien C.J.

J. Phys. Chem., 1957, 61 n 6

767-769

Ca_2SiO_4

Экспериментальное определение
кальция при бинарных магнезиальных
мagmaх.

X- 24-57-76563



1988-11-11

IX 1945

1957

$\text{CaO}, \text{Al}_2\text{O}_3, 12\text{CaO}\cdot7\text{Al}_2\text{O}_3;$

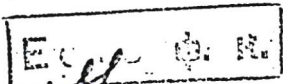
$3\text{CaO}\cdot\text{Al}_2\text{O}_3; \text{CaO}\cdot\text{Al}_2\text{O}_3; \text{Ca}_2\text{SiO}_3;$

Ca_2SiO_4 (σ)

Carter P.T., Macfarlane T.G.,

J. Iron. and. Steel Inst., 1957,

185, N.Y. 54-66



P.X., 1957, 68344

Б9 - 1291-IX 1957

алюр

Carbonyl
и др.

Appl. Eng. & Q.

U.S. Pat. Off. Chem. Soc., 1957, 79,
No 20, 5437-5438.

Приемлемость при некоторых не-
изменениях и эпиропонии при
298, 15°K некоторых кристал-
лических супракомплексов, согла-
шаемых кристаллами.

Х-58-8-24113

~~БГР-1957-IX~~
Попонов И.А.

1957

~~Биомарка~~

Ca_2SiO_5

Волконексий Б.В. Пигалев В.И.
Докл. АН СССР. 1957, 112,
№ 3, 467-469.

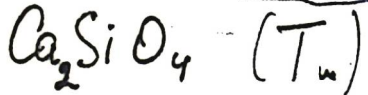
~~пурпурные
пересеки~~

Рисунок о полиморфизме
глиоксилитового стекла

X-~~20-57~~-65558

Bsp - TX - 1058

1958



Funk H. von,

Z. anorgan. und allgem. Chem.,

1958, 297, n1-2, 103-120

5

ecr6 q2k

1959

Бадушкин В. И., Мтесидов -

Петросян Р. Р.

Бадушкин В. И. Мтесидлов
Петросян О. Р.

Силикатехник, 1959, 10,
N 12, 605-608.

Гидротермальная реакция
в системах $\text{Ca}(\text{OH})_2-\text{SiO}_2-$
 H_2O , $\beta\text{-C}_2\text{S}-\text{H}_2\text{O}$ и $\text{C}_3\text{S}-\text{H}_2\text{O}$

Изучение корицановых и
изогомометрических условий

Си-амиаков

07/11/60

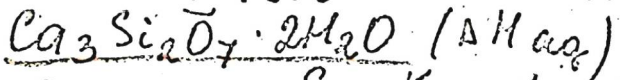
X-1

890-1

x-60-16-64503

IX 1919

1959



Brennauer S., KantzloD.

Weise C.H.

Canad. J. Chem., 1959, 37, N^o 4,

714 - 724

Б

ЕСТЬ Ф. К.

D.X., 1960, 4191

E 2470

1959

$2\text{CaO} \cdot \text{SiO}_2 \cdot \text{H}_2\text{O}$; $3\text{CaO} \cdot 2\text{SiO}_2 \cdot 3\text{H}_2\text{O}$;

$5\text{CaO} \cdot 5\text{SiO}_2 \cdot \text{H}_2\text{O}$; $2\text{CaO} \cdot 2\text{SiO}_2 \cdot 3\text{H}_2\text{O}$;

$2\text{CaO} \cdot 3\text{SiO}_2 \cdot 2\text{H}_2\text{O}$, $\text{CaO} \cdot 2\text{SiO}_2 \cdot 2\text{H}_2\text{O}$ (Ab)

Baßwischkin W. F., Mischenkow -
I.

Petrozavodsk O.P.,
silikattechnik, 1959, 10, N12, 605-8

all

P.L., 1960, 64.503 Sovt. Ch. K.

PK 2686

1959

CaF₂, SiO₂·CaO, SiO₂·3CaO, SiO₂·2CaO

(Kp)

Махоньев А. А.,

126. Сибирск. отд. АН СССР, 1959,
N4, № 1-76

Е. О. и др. к.

III

2 X., 1960, 83905

Б 40-1Х-4403

(1955)

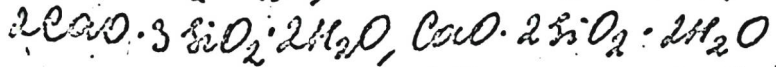
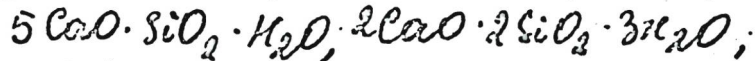
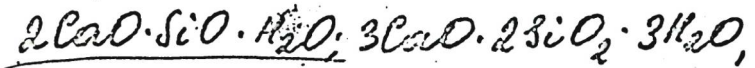
Са-силикаты

19Б315. Термодинамическое исследование реакции в системе $\text{Ca}(\text{OH})_2 - \text{SiO}_2 - \text{H}_2\text{O}$ в гидротермальных условиях. Мчедлов - Петросян О. П., Бабушкин В. И. «Докл. Междунар. конференции по изуч. автоклави. материалов и их применению в стр-ве». Л., 1959, 253—260.—По энтропиям связей Si—O, Ca—O, O—H рассчитаны ΔH° (обр.) (ккал/моль) девяти гидросиликатов кальция: $2\text{CaO} \cdot \text{SiO}_2 \cdot 1,17\text{H}_2\text{O}$ ($-624,80$); $3\text{CaO} \cdot 2\text{SiO}_2 \cdot 3\text{H}_2\text{O}$, ($-1118,45$); $4\text{CaO} \cdot 3\text{SiO}_2 \cdot 1,5\text{H}_2\text{O}$ ($-1402,85$); $6\text{CaO} \cdot 6\text{SiO}_2 \cdot \text{H}_2\text{O}$ ($-2334,11$); $5\text{CaO} \cdot 6\text{SiO}_2 \cdot 3\text{H}_2\text{O}$ ($-2300,90$); $5\text{CaO} \cdot 6\text{SiO}_2 \cdot 5,5\text{H}_2\text{O}$ ($-2482,15$); $5\text{CaO} \cdot 6\text{SiO}_2 \cdot 10,5\text{H}_2\text{O}$ ($-2837,15$); $2\text{CaO} \cdot 3\text{SiO}_2 \cdot 2,5\text{H}_2\text{O}$ ($-1138,82$); $\text{CaO} \cdot 2\text{SiO}_2 \cdot 2\text{H}_2\text{O}$ ($-725,64$). Выведены уравнения $\Delta F = f(T)$ для р-ции образования этих гидросиликатов в интервале т-р 25—200°. На основании полученных данных сделаны выводы о наиболее вероятном образовании тех или иных гидросиликатов в системе $\text{Ca}(\text{OH})_2 - \text{SiO}_2 - \text{H}_2\text{O}$ при различных отношениях CaO к SiO_2 . Е. Брыкни

РГР НИИ
1961-1963/5

К 2702

1959



(ΔH_f , ΔF , C_p)

Мнездов.-Петровский О.Н.

Бадыжанов Б.Д.

ЕСТЬ Ф. Н.

Docl. АИ ССР, 1959, 128, N 2, 348-51

P.X., 1960, 41837

41,5

~~2CaO·SiO₂~~ Newman E.S., PB-1-3341 / 1853

CaSO₄ y. Res. NBS, 1853, 62, 207 - 11

K₂SO₄ Теневое орнаментальное
кальциевое стекло

K₂O·2CaO·
·12SiO₂ Синее АМ фасб

2CaO·SiO₂ (α, β), CaSO₄, K₂SO₄ и
другие соли и минералы

AM фасб

B9-18-1495

(B.P. VII 361.)

1960

Mn₂SiO₅, Mn₂SiO₄, δ -Ca₂SiO₄)

MgO-MnO-SiO₂, CaO-MnO-SiO₂. (T_{Tz})

Glasser F.P.,

Silikattechn., 1960, 11, v8, 362-363.



5

IX 2424

1960

3CaO·SiO₂(T₆₂)

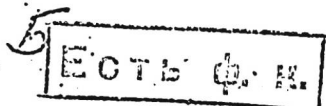
5.4CaO·15SiO₂·4Fe₂O₃·MgO (T₆₂)

Yamaguchi G. Miyabe H.,

J. Amer. Ceram. Soc., 1960, 43, n° 4,

219-224

P.V. 1960, 98378



1960

Ca-calcium

Thermodynamics of the silicates and hydrosilicates of calcium.

O. P. Mtschedlov-Petrossian and W. I. Babushkin. *Siliksat. Tech.* 11, 384-6(1960). A review with 16 references. CA

C.A. 1963. 58. 11

10793e

VII 1549

1961

CaSiO_3 ($\Delta \text{H}_{\text{aq}}$), FeSiO_3 ($\Delta \text{H}_{\text{aq}}$)

$\underline{\text{Ca}_2\text{SiO}_4}$ ($\Delta \text{H}_{\text{aq}}$), Fe_2SiO_4 ($\Delta \text{H}_{\text{aq}}$)

Abraham K.P., Richardson F.D.

Metallurg. Soc. Conf., 1961, 7, 263-74

Discuss., 274-76

The mixing of silicates in molten slags.

PJX, 1962, 135377

M.

orig.

X 1842

1961

CaSiO_3 , $\text{Ca}_3\text{Si}_2\text{O}_6$, Ca_2SiO_4 (Δb_f)

vs 2D.C.

Benz R., Wagner C.,

Z. Phys. Chem., 1961, 65, N8, 1308-11

M.B.

zero open

P.K., 1962, 115257

1961

№ 13Б376. Образование силикатов, ферритов и титанатов кальция в твердой фазе. Бережной А. С., Кордюк Р. А. Утворення силікатів, ферітів, алюмінату і титанатів кальцію в твердій фазі. «Доповіді АН УРСР», 1961, № 7, 924—927 (укр.; рез. русск., англ.).—Рассмотрены объемные эффекты (ΔV), изменения изобарного термодинамич. потенциала на 1 г/атом кислорода (ΔZ), константы киппетич. ур-ния $K' = A \cdot \exp(-E/RT)$ при образовании в твердой фазе некоторых силикатов, ферритов, алюмината и титанатов кальция. Показано, что наибольшей скоростью образования обладают CaFe_2O_4 , Ca_2SiO_4 и $\text{Ca}_2\text{Fe}_2\text{O}_5$, что связано с величиной коэф. самодиффузии Ca и Fe. Приведены величины вероятностей существования (W_i) простых силикатов кальция в двух многокомпонентных системах. На основе расчетов построена схематич. $P-T$ -диаграмма для Ca_2SiO_4 и дан ее анализ. Тройная точка для CaSiO_3 едва ли может быть реализована из-за вероятного перехода его в смесь $\alpha\text{-Ca}_2\text{SiO}_4$ и коэзита при очень высоких давлениях. Отмечаются различия в характере плавления аортита, телепита и $\text{Ca}_5\text{Al}_6\text{O}_{14}$. Не найдено превращение в аортите при 1103°K .

Резюме авторов

Л/БГ-1
БР-1

Ca - соединения

+2

25.1962.13

VI 1896

1969

Ca_2SiO_4 , Mn_2SiO_4 (Tm)

Glasser F.P.

Amer. J. Sci., 1961, 259, pt 1, 46-59

PHEX, 1961,

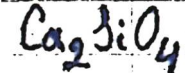
216320

3cm opus.

5

1962

- 12Б407. Новое исследование полиморфизма двукальциевого силиката. Smith Deane K., Majumdar A. J., Ordway Fred. "Re-examination" of the polymorphism of dicalcium silicate. «J. Amer. Ceram. Soc.», 1961, 44, № 8, 405—411 (англ.). — Изучалось влияние на последовательность полиморфных превращений Ca_2SiO_4 (I) ряда факторов: способа приготовления, т-ры обжига, размера частиц и добавок. Исследование проводилось с помощью дифференциального термич. анализа и высокотемпературной рентгенографии на 3 образцах I, полученных из: 1) силикагеля и CaCl_3 , 2) этилортосиликата и $\text{Ca}(\text{NO}_3)_2$, 3) коллоидального силикагеля и $\text{Ca}(\text{NO}_3)_2$. Все образцы представляли собой смесь модификаций β и γ . При нагревании и охлаждении все они обнаружили идентичную последовательность превращений: $\beta \rightarrow \alpha'$ (670°), $\gamma \rightarrow \alpha'$ (750 — 860°), $\alpha' \rightarrow \alpha$ (1423°) в процессе нагревания и $\alpha \rightarrow \alpha'$ (1422°), $\alpha \rightarrow \beta$ (670°), $\beta \rightarrow \gamma$ (400°) и при охлаждении. Последнее превращение происходило полностью и сопровождалось рассыпанием образцов лишь в том случае, если охлаждение велось от т-ры, не ниже соответствующей $\alpha \rightleftharpoons \alpha'$ -переходу. По мнению авторов, это объясняется существованием двух новых модификаций α' и $\beta_{\text{п.}}$, которые по своим структурным



полиморф.

Х. 1962. 12.

сек
чай

и энергетич. характеристикам очень незначительно отличаются от обычных α' - и β -форм. Добавки CaO, SiO₂, Al₂O₃, Fe₂O₃ и MgO в кол-ве 0,5 вес. % заметного влияния на последовательность полиморфных превращений не оказывают, за исключением Al₂O₃, введение которой снижает т-ру $\alpha \rightarrow \alpha'$ -перехода с 1420 до 1370°. Добавки K₂O, Na₂O, Cr₂O₃ и B₂O₃ стабилизируют β -форму и препятствуют $\beta \rightarrow \gamma$ -превращению. Л. Яковлев

как

Mgo, Cardiolite
N 2084 (kp)
1962
Espeleund A.

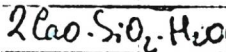
Tidsskr. Kjemi, berigelsen
og metalling; 1962, 22, 19,
204-206

H.P.X., 1964, 15346

ceso open

1962

BP-18-1362



Dehydration of dicalcium silicate δ -hydrate. V. Slizys and J. Vaitkus. *Lietuvos TSR Mokslu Akad. Darbai Ser. B* 1962,

No. 4, 77-82(in Russian). The heat of dehydration of $\alpha\text{-}2\text{CaO}\cdot\text{SiO}_2\cdot\text{H}_2\text{O}$ (I) was detd. at room temp. and at 700° by using thermogravimetric and differential thermal analyses, and by using calorimetry. The heat of dehydration of $\text{Ca}(\text{OH})_2$ was also detd. at room temp. and 530° . At room temp. ΔH for I and $\text{Ca}(\text{OH})_2$ was 1033 and 1445 cal./g. H_2O , resp. At 700° for I and 530° for $\text{Ca}(\text{OH})_2$, ΔH was 1006 and 1345 cal./g. H_2O . These values indicate that ΔC_p for dissociation of I depends on temp. to a significantly smaller degree than does the dissociation of $\text{Ca}(\text{OH})_2$.

CA

C.A. 1963 • 58 • 19

12015a

$\gamma \text{Ca}_2\text{SiO}_4 - \text{Y}_3(\text{SiO}_4)_3$
(T_m)

уIII 3027 1962

Торопов Н.А., Федоров Н.Ф.,
Ж. прикладн. химии, 1962, 35, 2156-61

Стабильность высокотемпературных форм
ортосиликатов кальция и лантанидов

СА, 1963, 58, № 5, 4142

Б

R 1216

1962

Ca₃SiO₅ (Tse)

Yannazgais N., Regourd M.,
Mazières Ch., Biscinsky A.,
Bull. Soc. Frères. Mineral. Brit.,
1962, 85, n^o 3, 271-81

5

Борис А. Н.

cut, 1963, 58, N.S. 3967c

1963

γ Ca_2SiO_4 , Mn_2SiO_4 (ΔHf)

VI-1921

Abraham K.P.,

Indian J., Chem., 1963, 1, 245-6.

Heats of formation of solid solutions of calcium orthosilicate and manganese orthosilicate.

M,

CA., 1963, 59, N8, 8190a

Ca_2SiO_4

BP 2444-IX

1963

Басов И. Н.

(Tm)

Мп. Россия. ик-ма омега -
пол., 1963, 4, 131-162

K 2538

1963

Ca₂SiO₄ (δC_f)

Известковый гранит, Масандровский
н.п.,

Металлург. институт. профессор. Са-
карбовский ССР Министерство. нео-
гени, Тр. ИИ-ТД-Металлургический ин-
ститут ССР, 1962(1963), 13, 151
н.п., 1963, 12.7.76

1963

Ca-содиевые

силикат

22 Б350. Термодинамика образования куспидина, $3\text{CaO} \cdot 2\text{SiO}_2 \cdot \text{CaF}_2$, и минеральной фазы $3\text{CaO} \cdot 3\text{Al}_2\text{O}_3 \cdot \text{CaF}_2$ (кальфидина). Jacques J. K. The heats of formation of cuspidine, $3\text{CaO} \cdot 2\text{SiO}_2 \cdot \text{CaF}_2$, and the mineral phase, $3\text{CaO} \cdot 3\text{Al}_2\text{O}_3 \cdot \text{CaF}_2$. «J. Chem. Soc.», 1963, Sept., 4297—4299 (англ.)

ΔH_f

Калориметрически (прибор описан) определены энталпия растворения куспидина $3\text{CaO} \cdot 2\text{SiO}_2 \cdot \text{CaF}_2$ (I), кальфидина $3\text{CaO} \cdot 3\text{Al}_2\text{O}_3 \cdot \text{CaF}_2$ (II) и стехиометрически смесей силикатов и алюминатов Ca с CaF_2 в 40% водн. р-ре HF при 25°. С использованием эксперим. и литературных данных, рассчитаны значения энталпии образования при 25° (ккал/моль) для I: $-1219,9 \pm 4,5$ и для II: $-1845,3 \pm 3,5$.

+1

Х. 1964 № 28



Ca-cumulates

1963

Thermodynamic probability of formation of tricalcium silicate in calcium oxide-pseudowollastonite. L. A. Kroichuk and V. A. Shtereman. *Zh. Vses. Khim. Obshchestva im. D. I. Mendeleyeva* 8(5), 581-2(1963). On the basis of existing thermodynamic data, the possibility of the reaction: $2\text{CaO} + \alpha\text{-CaSiO}_3 \rightarrow \text{Ca}_3\text{SiO}_5$ at 1400-1700°K. was shown. This prediction was confirmed exptl. by x-ray analysis of such reaction mixts.

G. M. Kosolapoff

C.A. 1964. 60-4

3554a

1963

Зер 1850-IX

Ca₂SiO₄

1 Б424. Дифференциальный термический анализ и высокотемпературные рентгеновские исследования $2\text{CaO}\cdot\text{SiO}_2$. Ямагути Горо, Оно Йосио, Кавамура Сигэо, Сода Иосиаки. «Егё кёкайси, Yogyo kyokaishi», J. Ceram. Assoc. Japan, 1963, 71, № 805, 9—12 (японск.; рез. англ.)

Для исследования α -, α' - и β -модификаций $2\text{CaO}\cdot\text{SiO}_2$ в интервале 25—1550° применены методы рентгеновский и ДТА. Для процесса нагревания получены следующие данные: γ -форма со структурой $2\text{MgO}\cdot\text{SiO}_2$ стабильна в интервале 25—740°; α' -форма со структурой $\beta\text{-K}_2\text{SO}_4$ (ф. гр. $Pnma$, a , 6,883, b 5,605, c 9,543 Å при 1300°) стабильна при 900—1450°; выше 1490° стабильна α -форма со структурой глазерита (ф. гр. $P\bar{3}ml$, a 5,27, c 5,11 Å при 1500°). Для процесса охлаждения получены данные: переход $\alpha \rightarrow \alpha'$ происходит в интервале 1450—1390°; переход $\alpha \rightarrow \beta$ происходит при 690°; при 550° параметры решетки β (ф. гр. $P2_1/c$) составляют a 5,558, b 6,823, c 11,261 Å при β 123°11'; переход $\beta \rightarrow \gamma$ происходит при 450°.

По резюме авторов

Х.1964.1

1963

Ca₂SiO₄

4 Б259. Синтез модификаций Ca_2SiO_4 и их рентгенограммы порошков. Ямагути Горо, Оно Иосио, Кавамура Сигэо, Сода Иосиаки. «Егэ кёкайси; Yogyo kyokaishi, J. Ceram. Assoc. Japan», 1963, 71, № 806, 21—26 (японск.; рез. англ.)

Рентгенографически (дифрактометрия, $\lambda\text{Cu}-K\alpha$) исследованы порошки нескольких модификаций Ca_2SiO_4 , полученных при т-рах 75—1550°. Параметры решетки: γ -форма a 11,232, b 6,773, c 5,083 Å, ф. гр. $Pnma$; β -форма 5,514, 6,757, 11,197 Å, β 123°59', $P2_1/c$; α' -форма 6,748, 5,494, 9,261 Å, $Pnma$; α -форма a 5,419, c 7,022 Å, $P3m1$.

Е. Корытный

X·1904·4

1951 - IX

Ca₃SiO₅

8 Б659. Повторное исследование полиморфизма
Ca₃SiO₅. Miyabe H., Roy D. M. A reexamination
of the polymorphism of *Ca₃SiO₅*. «J. Amer. Ceram. Soc.»,
1964, 47, № 7, 318—319 (англ.)

Высокотемпературным рентгеновским методом с помощью усовершенствованного рентгеновского дифрактометра и ДТА исследованы переходы алита $3\text{CaO} \cdot \text{SiO}_2$ (A), который приготавлялся спеканием карбоната Ca и прокаленного SiO_2 . Путем закалки образцов в кювете со льдом получены различные модификации A. Рентгенографические исследования (CuKa-излучение, Ni-фильтр) проводились в 2 цикла с попеременным нагреванием и охлаждением полученных модификаций A от комнатной т-ры до 1380° со скоростью 5 град./мин. Перед дифрактометрич. записью образцы стабилизировались в течение 20 мин. Приведены параметры ячеек модификаций A как функции т-ры. Обнаружены 3 главных кристаллографич. превращения: α -триклиний \rightarrow β -триклиний, идущее очень медленно в интервале 550 — 700° , β -триклиний \rightarrow моноклиний при $910 \pm 10^\circ$, моноклиний \rightarrow тригональная при $970 \pm 10^\circ$. Иллюстрированы термограммы A,

1964

X·1965·8

полученные для 3 циклов нагревания и охлаждения. На основании небольших термографич. пиков при 675 и 575° сделан вывод, что медленно идущее трикл. превращение, по-видимому, идет в 2 этапа: от 550 до 600 и 650 до 690°. Установлено, что почти все полиморфные превращения сопровождаются термич. расширением. Б. Доброцветов

E 1592

1964

3CaO · SiO₂ (Tz, Str)

Regovald N.

Bull. Soc. franç. minéral et
crystall., 1964, 87, n° 2, 248-272

5, Rue [] EOTB (P. R.)

DCP, 6B223

3CaO · SiO₂

1964

23 B58. Исследование реакции 3CaO · SiO₂ с β -кварцем в гидротермальных условиях. Saumain Z. Beitrag zur Untersuchung der Reaktion von 3CaO · SiO₂ — β -Quarz unter hydrothermalen Bedingungen. «Electron. microscopy 1964. Vol. A». Prague, Czechosl. Acad. Sci., 1964, 337—338 (нем.)

X · 1965 · 23

Ca-cumiamor

Arlyuk B. J.

1965

slf

Issled. v. Obshch. chime. silikatov
i Okislov, AN SSSR, Sb. Statei
1965, 198.

Calculation of thermoch-
mical. data on zilicates.

I/Cu. Na-sil.)

$2 \text{BeO} \cdot \text{SiO}_2$; $\text{MgO} \cdot \text{SiO}_2$; $\underline{\text{IX}} \ 324^{4905}$
 $2 \text{CaO} \cdot \text{SiO}_2$; $\text{CaO} \cdot \text{SiO}_2$;
 $3 \text{SrO} \cdot \text{SiO}_2$; $\text{SrO} \cdot \text{SiO}_2$; $3 \text{BaO} \cdot \text{SiO}_2$;
 $\text{BaO} \cdot \text{SiO}_2$; $2 \text{BaO} \cdot \text{SiO}_2$; $\text{BaO} \cdot 2\text{SiO}_2(\text{off})$

Матвеев Г. М., Матвеев Н. А.,
Д. Всес. хим. соф.-ба. № 2. № 2.
Матвеева, 1965, 10(5), 530-1

III



EOTU φ. R.

Ca 1966

Ca_2SiO_4 (Ts_1)

BEP-N 113/1966

Grzymek Terzy, Szalny Jan

Sieradz, 1966, 10, N2, 175-179 (corabaga!)

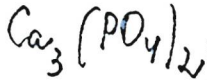
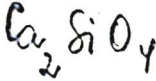
K' niewielkiowy CaS .

4 5 ⑨

Pl. 12. II, 1967

35603

EC-L 46. 15



1966

Solid solutions of calcium orthophosphate in dicalcium silicate.
N. A. Toropov, N. F. Fedorov, and V. I. Khentov (Lensovet
Technol. Inst., Leningrad). *Izv. Akad. Nauk SSSR, Neorgan.*
Materialy 2(3), 550-2(1966)(Russ). The system $\text{Ca}_3(\text{PO}_4)_2$ -
 Ca_2SiO_4 was studied at 5 wt. % increments and 1000°. They
were fused, homogenized at 120-150° above the melting temp.,
thermally treated at a required lower temp. for a certain time,
and quenched. Samples, annealed above 1500°, were examd.
petrographically and by x-rays. It was found petrographically
that specimens in the range 0-45% $\text{Ca}_3(\text{PO}_4)_2$ consist of one phase.
X-ray analysis of samples with less than 5% $\text{Ca}_3(\text{PO}_4)_2$ shows
only $\beta\text{-Ca}_2\text{SiO}_4$; from 7.5 to 15% $\text{Ca}_3(\text{PO}_4)_2$, there is $\alpha\text{-Ca}_2\text{SiO}_4$;
above 15%, $\text{Ca}_3(\text{PO}_4)_2$, there is another phase (imperceptible
petrographically) corresponding to the (high-temp.) $\alpha\text{-Ca}_2\text{SiO}_4$.
Above 25% $\text{Ca}_3(\text{PO}_4)_2$ the strongest x-ray lines correspond to this
 Ca_2SiO_4 phase, indicating a sequential stabilization of the high-
temp. modification of Ca_2SiO_4 and not the formation of solid
solns. Melting temps. of samples in the range 70-100 wt. %
 Ca_2SiO_4 are around 2100°. Max. melting temp. is $2220 \pm 50^\circ$,
corresponding to approx. 20 wt. % of $\text{Ca}_3(\text{PO}_4)_2$.

E. Ryshkewitch

C.A. 1966 . 65.3
3314 g

1966
Вир - VI-4443

300. Al_2O_3 , 200. SiO_2 (Кр, ΔG_f)

Жуковский В.В..

Изв. Высш. Учебн. заведений, Цветн.мет.,
1966, 9/4/, 49-54.

Термодинамика восстановл. кальция из окислов
с помощью сплава Al-Si.

M,

F

CA, 1966, 65, N11, 16143c

3 CaO · SiO₂ (Tm)

IX 34

1962

Bigard M., Guillet A., Marizet C.

Regourd M., Tannogurs N., Eyset W., Hahn Th.

Wermuth E.

J. Amer. Ceram. Soc., 1962, 50, VII, 603-619 (aust.)

Polymorphism of Lanthanum silicate and its solid solutions.

Phil. Mag., 1969

EOTIS G. H. 5 (P)

15975

~~CaO FeO - SiO₂~~

BP-18-143

1967

Ca-Cu

~~H. activity~~

Ca₃Si₂O₇

ΔG_f

C.A. 1968-68-4

16555z Activity-composition relations in solid solutions of the system CaO-“FeO”-SiO₂ in contact with metallic iron at 1080°. R. E. Johnson and Arnulf Muan (Pennsylvania State Univ., Philadelphia). *Trans. Met. Soc. AIME* (Amer. Inst. Mining Met., Petrol. Eng.) 239(12), 1931-9(1967)(Eng). Equil. CO₂/CO ratios of a gas phase coexisting with selected oxide phase assemblages of the system CaO-“FeO”-SiO₂ and metallic Fe were detd. at 1080°. The data obtained were used to calc. activity-compn. relations for metasilicate, orthosilicate, and CaO-“FeO” solid solns. and to det. a new value for the free energy of formation of Ca₃Si₂O₇. The metasilicate soln. is practically ideal, whereas large deviations from ideality exist in the other 2 solid solns. 25 references. Nat L. Shepard

3CaO·SiO₂

БФ 37-IX

1967

1 Б975. Полиморфизм 3CaO·SiO₂ и его твердых растворов. Bigaré M., Guinier A., Mazières C., Regourd M., Yannquis N., Eysel W., Hahn Th., Woermann E. Polymorphism of tricalcium silicate and its solid solutions. «J. Amer. Ceram. Soc.», 1967, 50, № 11, 609—619 (англ.).

T_{tr}

x. 1969 . 1

1966

Ca_2SiO_4

ЗБ603. К полиморфизму C_2S : Grzymek Jerzy,
Skalný Ján. Príspevok k polymorfizmu C_2S . «Silikáty»,
1966, 10, № 2, 175—179 (словацк.; рез. русск., англ.)

Методами высокот-рной микроскопии и дилатометрическим проведено исследование Ca_2SiO_4 . Уменьшение объема при 1425° , связанное с превращением $\beta \rightarrow \gamma$, объяснено появлением жидк. фазы. По резюме авторов

X·1967·3

Ca₂SiO₄ (DH.)

I-X-146

1967

Juza R., Vössling A., Schuster

M.U., Z.anorgan. und allgem.
Chem., 1967, 352 (1-2), 89-101

Reaction of calcium carbide
with silicon dioxide

EGNB sp. N.

III

(9)

Ca 1967

Ca-carbide

1987

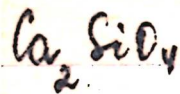
60522q Reaction of calcium carbide with silicon dioxide.
Robert Jüza, Axel Voelling, and Hans Uwe Schuster (Univ. Kiel, Ger.). *Z. Anorg. Allg. Chem.* 352(1-2), 89-101(1967) (Ger). The reaction between CaC_2 and SiO_2 in the presence of CaO was studied at 1250° . At a mole ratio $\text{CaC}_2:\text{SiO}_2 \leq 1:1$, the silicates $\alpha\text{-CaSiO}_3$, $\text{Ca}_3\text{Si}_2\text{O}_7$, $\beta\text{-Ca}_2\text{SiO}_4$, and $\gamma\text{-Ca}_2\text{SiO}_4$ are formed in order of decreasing SiO_2 content of the reaction mixt. SiC is also obtained. With a mole ratio $\text{CaC}_2:\text{SiO}_2 > 1:1$, the reaction yields $\beta\text{-SiC}$ and an unknown Ca silicate ($\alpha\text{-Ca}_2\text{SiO}_4$) which was characterized by chem. analysis and x-ray and ir spectra. $\gamma\text{-Ca}_2\text{SiO}_4$ is stabilized at 1250° as $\alpha\text{-Ca}_2\text{SiO}_4$. The free enthalpies of the possible reactions are calcd. as a function of temp.

DH plus

CJJG

C.A. 1964. V7. 12

1967



10 Б433. О кристаллохимии силиката кальция,
 Ca_2SiO_4 . Saalfeld, H. Beitrag zur Kristallchemie des
 Dikalziumsilikates, Ca_2SiO_4 . «Вер. Дtsch. keram. Ges.»,
 1967, 44, № 6, 279—283 (нем.; рез. англ., франц.)

Рентгенографически (методы порошка и Вейссенберга) исследован механизм полиморфных превращений в кристаллах Ca_2SiO_4 (I). Параллельно изучено влияние паров воды, а также примесей V_2O_5 и B_2O_3 на рост и структуру I. Выращивание кристаллов различных модификаций проводилось в электропечи при 1000—1500°. Установлено, что пары H_2O способствуют образованию крупных (~1 мм) кристаллов; при этом по данным ИК-спектров никаких признаков вхождения ионов OH в структуру не наблюдается. Образующиеся монокристаллы всех модификаций подвержены интенсивному двойникованию. Небольшая примесь V_2O_5 (1—2%) стабилизирует моноклин. β-модификацию, приходя к образованию монокристаллов, лишенных двойников. Аналогичное

п. 1968 · 10

действие производит на гексагон. α -форму та же примесь в кол-ве $\sim 5\%$. Отмечено утрение параметра c и изменение ф. гр. этих кристаллов по сравнению с литературными данными. Стабилизация α' -формы осуществлена с помощью примеси B_2O_3 (2—3%). Исследован процесс эпитаксического роста кристаллов I на ориентированных по (0001) пластинках кварца. Отмечено образование текстур из кристаллов β - и γ -модификаций. На основе полученных результатов предполагается, что механизм полиморфных превращений в I носит характер смещения атомов, приводящего в каждом случае к различным законам полимеризации SiO_4 -тетраэдров, а также к изменению коорд. ч. крупных катионов Ca^{2+} . Приведена геометрия фазовых переходов в I, а также взаимосвязь параметров решеток в различных модификациях.

А. А. Воронков

1984

$\gamma\text{-Ca}_2\text{SiO}_4$

11 Б757. Гидротермальные реакции γ -двукальциевого силиката. Speakman K., Taylor H. F. W., Bennet J. M., Gard J. A. «Hydrothermal reactions of γ -di-calcium silicate. «J. Chem. Soc.», 1967, A, № 7, 1052—1060 (англ.)

Изучено действие воды на чистый $\gamma\text{-Ca}_2\text{SiO}_4$ и в присутствии $\text{Ca}(\text{OH})_2$, кварца, аморфной SiO_2 при т-рах 150—600° и давл. 5—350 бар. Большая часть опытов до 350° проводилась при давл. насыщенного пара. Твердые продукты исследовались рентгенографически; снимали ИК-спектры и кривые термич. разложения. В отдельных случаях проводилось электронографич. исследование твердых фаз. В исследуемых системах показано образование целого ряда кальциевых силикатов. В широкой об-

X. 1968. //

ласти составов образуется новое соединение $\text{Ca}_8\text{Si}_5\text{O}_{18}$ (I).
Лучше всего эта фаза кристаллизуется при $\text{Ca} : \text{Si} = 1,5 - 1,75$ в области т-р $180 - 600^\circ$ и давлений 10—200 бар. Соединение I устойчиво до т-р порядка 600° . На основании кристаллографич. исследований авторы полагают, что новое соединение имеет слоистую структуру, составленную из чередующихся слоев $\gamma\text{-Ca}_2\text{SiO}_4$ и кильханита $\text{Ca}_3\text{Si}_2\text{O}_7$. Кристаллы $\text{Ca}_8\text{Si}_5\text{O}_{18}$ относятся к ромбич. сингонии с параметрами элементарной ячейки, $a = 11,54 \text{ \AA}$, $b = 5,09 \text{ \AA}$, $c = 28,86 \text{ \AA}$; ф. гр. $Pcam$ или $Pca2_1$. Показано, что гидраты двукальциевого силиката, образующиеся в атмосфере насыщ. водяного пара при 200° являются смесью разупорядоченной формы $\text{Ca}_8\text{Si}_5\text{O}_{18}$ и $\text{Ca}_5(\text{SiO}_4)_2(\text{OH})_2$.

А. Борина

6CaO · 6SiO₂ · H₂O

ugp.

1967

DHP

7165g Heat of formation of xonotlite, tobermorite, hillebrandite, and afwillite. Taylor, J. E. (John Laing Res. Develop., Ltd., Boreham Wood, Engl.). *Proc. Conf. Silicate Ind.* 1967 (Pub. 1968), 9, 179-84 (Eng). A description is given of the calorimetric detn. of the heats of formation of the Ca silicate hydrates: xonotlite (6CaO · 6SiO₂ · H₂O), hillebrandite (2CaO · SiO₂ · H₂O), afwillite (3CaO · 2SiO₂ · H₂O), and tobermorite (5CaO · 3SiO₂ · 6H₂O). Natural and artificially prep'd. materials were dissolved in HF/HNO₃ soln. in a modified calorimeter and the heats of soln. detd. These data, together with the heats of soln. of the theoretical quantity based on lime and silica, permit the heats for formation of the hydrates from the oxides to be calcd. Combining these results with the heat of formation of the oxides gives rise to the heats of formation of the Ca silicate

C. A. 1969. H. 2

hydrates from the elements. The heats of formation from the elements (in kcal.) are: natural xonotlite -2332.7, synthetic xonotlite -2362.2, natural hillebrandite -7489.5, afwillite -1145.9, natural tobermorite -4952.12, and synthetic tobermorite -4938.2. In a lime-silica-water system in which the lime:silica ratio approaches two, the most stable phase is hillebrandite at both 25 and 175°. In a system in which the lime:silica ratio approaches 1/2, the stable phase is gyrolite at 25 and 175°. At a lime:silica ratio of ~1, tobermorite is the stable phase up to about 110° with xonotlite becoming the stable phase at ~110°. With addn. of silica up to a ratio of 1:1.2, tobermorite is stable at $\leq 165^\circ$. Afwillite is not stable at any compn. or temp.

JDJN

$6\text{CaO.6SiO}_2.\text{H}_2\text{O}$; $5\text{CaO.6SiO}_2.6\text{H}_2\text{O}$; 1968
 $2\text{CaO.SiO}_2.\text{H}_2\text{O}$; " (diff) 9 IX 739

Taylor J. E.

Proc. Conf. Silicate Ind. 1968 (Publ. 1968)

9 179-84

Heat of formation of xenotilite
tibermontite, willibrandite and
afwillite.

Micron (9)

CA, 1969, V, N2, 465g

Ca₂SiO₅ (Tz) BP-IX 780A 1969

Liebhmann K., Niesel K., Thomann
Torino, 1969, 53, 46, 197-228 (L.)
Die Stabilitätsbereiche der
Modifikationen des Brucatiumit.

Publ. 1970

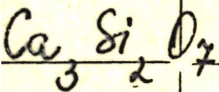
451280

5

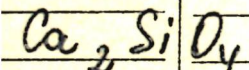
○

599

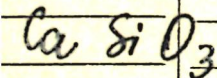
1920



Pratland d. u. gp.



Acta chem. scand.; 24 (3), 864.



Наблюдение на SiF_4
нас. синтет. кварцу -
гол. и гексагональ. кри-
сталл.

CaF_2 -  - SiO_2 .
 $(\text{Ca}, \text{SiF}_4)I$

[SiO₄(CaO)]⁴⁻

B9-3148-IX

10/10

807699 Energetics and structure of tricalcium silicate.
Grebenshchikov, R. G. (Inst. Khim. Silik. im. Grebenshchikova,
Leningrad, USSR). *Uzb. Khim. Zh.* 1970, 14(5), 35-8 (Russ.).
Calcns. using thermochem. cycles indicate that the [SiO₄(CaO)]⁴⁻
complex anion (an exothermic compd. with $\Delta H^\circ_{\text{calcd.}} = -47$
kcal/mole) can exist as a unit within the crystal lattice of Ca₃SiO₅.

M. Skala

ΔH

C.A. 1981. 74. 16

1970

CaO-SiO₂
= -2

Tm:

7016w Calculation of a fusibility diagram for the calcium oxide-silicon dioxide system. 2. Laptev, D. M. (Sib. Met. Inst., Novokuznetsk, USSR). *Izv. Vyssh. Ucheb. Zaved., Chern. Met.* 1970, 13(8), 10-13 (Russ). The equations of crystn. lines were derived for congruous and incongruous melting Ca silicates, i.e. for $3\text{CaO} \cdot \text{SiO}_2$, $2\text{CaO} \cdot \text{SiO}_2$, $3\text{CaO} \cdot 2\text{SiO}_2$, $\text{CaO} \cdot \text{SiO}_2$. The calcd. values agree well with the exptl. obtained data, except those of $\text{CaO} \cdot \text{SiO}_2$. The difference was caused by inaccuracy of crystn. line of CaSiO_3 . Z. Klimova

C.A. 1971. 74. 2

$\text{Ca}_3\text{Si}_5\text{O}_5$

Na_3BeF_5 (T_m, T_{cr}) 9'10 1971
15 IX 3351

Ca_3GeO_5 P., Eysel W., Hahn Th.
Brenner

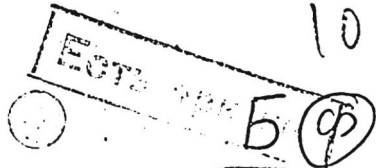
Neues Jahrb. Mineral. Monatsh., 1971,
N4, 175-179 (Hera.)

Узономорф Na_3BeF_5 , CaSiO_5

& CaGeO_5 .

PH Kurs, 1971

215883



Ca₂SiO₄

1971

Gr-pa

23 Б451. Уточнение структуры $\gamma\text{-Ca}_2\text{SiO}_4$. Czaya
Reinhard. Refinement of the structure of $\gamma\text{-Ca}_2\text{SiO}_4$.
«Acta crystallogr.», 1971, B27, № 4, 848—849 (англ.)

Ввиду того, что в известной структуре $\gamma\text{-Ca}_2\text{SiO}_4$ (I) (см. РЖХим, 1967, ЗБ287) тетраэдры SiO_4 являются весьма искаженными (межатомные расстояния Si—O 1,589—1,725Å), что не характерно для ортосиликатов, предпринято повторное рентгенографич. (метод Вейсенберга, $\lambda\text{Mo}_\text{K}\alpha$, 1198 отражений, МНК, изотропное приближение,

X. 1971.23

$R=0,07$) исследование кристаллов I (полученных разложением $\text{Ca}_2\text{SiO}_4 \cdot \text{CaCl}_2$). Параметры ромбич. решетки I: a 5,078, b 11,225, c 6,760 \AA , ф. гр. $Pbnm$. Результаты уточнения подтвердили известную модель структуры I, однако тетраэдры SiO_4 найдены гораздо более правильными (межатомные расстояния в уточненной модели: Si—O 1,634; 1,655; 1,657 \AA , Ca—O 2,286—2,442 \AA , валентные углы OSiO 104,4—114,8°). С. В. Рыкова

Ca - силикаты

1971.

(ΔGf)

.) 169535d Thermodynamic properties of calcium silicates and aluminates and of some other compounds. Kireev, V. A. (USSR). *Sb. Tr., Mosk. Inzh.-Stroit. Inst.* 1971, No. 69, 3-18 (Russ). From *Ref. Zh., Khim.* 1972, Abstr. No. 7B795. The std. heats and Gibbs free energies of formation of Ca, Mg, and Fe silicates, aluminates, hydroxides, and carbonates from oxides and ordinary substances, as well as the entropies and heat capacities at 298°K are presented. The parameters for the formation of silicates and aluminates from oxides at 400-2000°K are presented. High temp. components of enthalpy and entropy of silicates, aluminates and oxides at 400-1800°K and phase transition parameters of these compds. are presented.

C.A. 1972, 77 N26



Ca; Mg; Fe; - разбор на
составы
и свойства

Са - силикаты

1971

7 Б795. Термодинамические свойства силикатов и алюминатов кальция и некоторых других соединений.
Киреев В. А. «Сб. тр. Моск. инж.-стронт. ин-т», 1971,
№ 69, 3—18

ΔH_f

Cp

T_{r2}

Табулированы значения станд. теплот и энегий Гиббса образования из окислов и простых в-в, а также энтропии и теплоемкости при 298°К силикатов, алюминатов, гидроокисей и карбонатов Ca, Mg и Fe. Приведены параметры р-ций образования силикатов и алюминатов из окислов в интервале 400—2000°К. Представлены высокот-ные составляющие энтальпии и энтропии силикатов, алюминатов и окислов в интервале 400—1800°К и параметры фазовых переходов этих соединений.

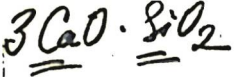
П. М. Чукurov

+11

X. 1972. 8



Bogoslo
cevsev



1971

54179g Study of the systems $3\text{CaO} \cdot \text{SiO}_2 \cdot \text{H}_2\text{O}$ and $\beta\text{-2CaO} \cdot \text{SiO}_2 \cdot \text{H}_2\text{O}$ in the temperature interval between 253 and 373°K.

Mchedlov-Petrosyan, O. P.; Chernyavskii, V. L. (Kharkov, USSR). *Silikattechnik* 1971, 22(2), 45-7 (Ger). Thermodynamic quantities can be calcd. for formation of various minerals by direct hydration, with no intermediate soln. phase. ΔH_{298} and $C_p = f(T)$ were calcd. and from these the free energy $\Delta Z = f(T)$ was derived. Definite integral mole ratios of water to $3\text{CaO} \cdot \text{SiO}_2$ or $\beta\text{-2CaO} \cdot \text{SiO}_2$ were considered at 253-373°K. $3\text{CaO} \cdot \text{SiO}_2$ has a higher probability of reacting than does $\beta\text{-2CaO} \cdot \text{SiO}_2$. The minerals formed were: tobermorite ($5\text{CaO} \cdot 6\text{SiO}_3 \cdot 5.5\text{H}_2\text{O}$); xonotlite ($6\text{CaO} \cdot 6\text{SiO}_2 \cdot \text{H}_2\text{O}$); hillebrandite ($2\text{CaO} \cdot \text{SiO}_2 \cdot 1.17\text{H}_2\text{O}$); gyrolite ($2\text{CaO} \cdot 3\text{SiO}_2 \cdot 2.5\text{H}_2\text{O}$); foshagite ($4\text{CaO} \cdot 3\text{SiO}_2 \cdot 1.5\text{H}_2\text{O}$); okenite ($\text{CaO} \cdot 2\text{SiO}_2 \cdot 2\text{H}_2\text{O}$); afwillite ($3\text{CaO} \cdot 2\text{SiO}_2 \cdot 3\text{H}_2\text{O}$).

Elizabeth W. Baumann

repeated

SHR

C.A. 1971. 75 8

BOP 3426 - IX

1941

Ca₃SiO₅

(T_{Tz})

(81179p) Polymorphic transformations of tricalcium silicate.
Uchikawa, Hiroshi; Tsukiyama, Koichi (Cent. Res. Lab.,
Onoda Cem. Co., Ltd., Tokyo, Japan). *Yogyo Kyokai Shi*
1971, 79(910), 183-8 (Eng). Nine reversible polymorphic trans-
formations of Ca₃SiO₅ were obsd. among 10 allotropic forms by
DTA and (or) by sp. heat measurements and x-ray diffraction
anal. The existence of 4 new modifications of Ca₃SiO₅ was con-
firmed.

C.A. 1941. 45. 12

1972

3CaO·SiO₂

14 Б922. Дилатометрическое исследование полиморфных превращений трикальцийсиликата и некоторых твердых растворов на его основе. Marchese Bernardo, Valenti Gian Lorenzo, Piccioli Ciro. Caratterizzazione per via termodilatometrica delle modificazioni polimorfe del silicato tricalcico e di alcune sue soluzioni solide. «Il cemento», 1972, 69, № 4, 237—244 (итал., англ.; рез. франц., нем.)

наши вопросы
наш учёбр

На примере 3CaO·SiO₂ и его тв. р-ров, содержащих 0,55 и 1% MgO, показана возможность использования дилатометрич. анализа при изучении полиморфизма наряду с ДТА и рентгенографией. Измерения величин линейных эффектов, проводимые в инертной среде при скорости нагрева 5 град/мин. позволяют достаточно четко определять т-ры переходов, величину гистерезиса,

изучать влияние добавок и термоциклирования на характер и особенности переходов. Б. Г. Алапин

X. 1973 N 14

LaSiO_4

BGP 3971 - IX

1972

Niesel K.

(Tty)

Silicat. ind., 1972, 37, N5,
136-38

$\text{Ca}_3\text{Si}_4\text{O}_9\cdot\text{Cl}_2$; $\text{Ca}_2\text{Si}_4\text{O}_9$ (ΔH_f° , ΔH_f°) 1972
B 3612. 9¹⁰

$\text{Na}_2\text{ZrSi}_3\text{O}_5$, $\text{K}_2\text{ZrSi}_3\text{O}_5$, $\text{K}_2\text{ZrSi}_2\text{O}_5$ (ΔH_f°)

Шибаков Е. В., Чукановская В. Г.

Редколледж „М. физ. науки“ АН СССР.
Ж. 1972, N 3966-72 Den.

Теплоты растворения ортоциркум "Хорроносского камня в растворе
соляной кислоты"

PH 4.0, 1972
125733 Den

M 12
cc76 φ. k.

1982

 Ca_2SiO_4

39854w Heats of dissolution of calcium orthosilicate and chloroorthosilicate in a hydrochloric acid solution. Shibanov,

E. V.; Chukhlantsev, V. G. (Ural. Politekh. Inst. im. Kirova, Sverdlovsk, USSR). *Zh. Fiz. Khim.* 1972, 46(4), 1051 (Russ).

Addnl. data considered in abstracting and indexing are available from a source cited in the original document. The dissoln. enthalpies, ΔH_p , of $\text{Ca}_2\text{SiO}_4\text{Cl}_2$ (cryst.) (I) and $\beta\text{-Ca}_2\text{SiO}_4$ (cryst.) detd. in an isothermal Pt calorimeter in HCl at $25 \pm 0.01^\circ$ are 77.107-80.640 and 64.175-64.486 kcal/mole, resp. The formation enthalpies, ΔH_{298}° , calcd. for SiO_2 (aq.), I, $\text{Na}_2\text{ZrSiO}_5$ (cryst.), K_2ZrSiO_5 (cryst.), and $\text{K}_2\text{ZrSi}_2\text{O}_7$ (cryst.) are -215.735, -746.9, -637.1, -648.75, and -879.1 kcal/mole, resp.

E. Paszkow

(+) 

C.A. 1982. 77.6

Ca_2SiO_4 (Ttz) IX 4643 1973

Корнеев В.И., Сычев М.М., Каевшова
Т.Н., Троцкий И.Н.,

комплексное использование сырья,
технол. выхлопных газов, 1973, 46-9.

Технология обработки в неизвестной
ной системе γ - Ca_2SiO_4 - $\text{Ca}_3\text{Si}_2\text{O}_5$.

C.A. 1974. 81 n2, 6717h.

5 (9)

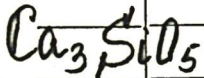
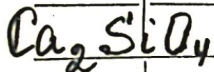
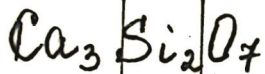
$\text{Ca}_3\text{Si}_2\text{O}_7$, $\text{Ca}_2\text{Si}_3\text{O}_7$, $\text{Ca}_3\text{Si}_5\text{O}_7$ 1975
(46f). IX4777

Saduakasov A.S., Bondarenko A.J.
Tr. Khim.-Met. Inst. Akad. Nauk
Kaz SSR.

Thermodynamic calculation for
the formation of calcium silicates
in mixtures of wollastonite
and limestone. (5) 6 M④

C.A. 1974. 81N2D. 127535f

1973



127535f Thermodynamic calculations for the formation of calcium silicates in mixtures of wollastonite and limestone. Saduakasov, A. S.; Bondarenko, A. I. (USSR). *Tr. Khim.-Met. Inst., Akad. Nauk Kaz. SSR* 1973, 23, 34-40 (Russ). Thermodn. calcns. of the Ca silicates formation in the CaSiO_3 - CaCO_3 system were performed and the values of free energy changes of the formation of $\text{Ca}_3\text{Si}_2\text{O}_7$, Ca_2SiO_4 , and Ca_3SiO_5 at 700-1800°K are given. The calcns. show that the thermodn. stability of the silicates increases with increasing CaO concn.

(ΔG_f)

C.A.1974.81.

N20

Ca₂SiO₄(Ttr)

IX 4506

1973

Зодчина Г.В., Яковцева И.И.,

изб. Акад. Наук СССР, №еор2.

Матер., 1973, 2, №1, 159-60 (русск.)

Выявление ультрафиолетовой эмиссии на ионно-сорбционном сканирующем микроскопе.

5 Ⓣ

ЛА, 1973, №18, 116200е

Ca₃SiO₅

ЗР-IX-ЧБОУ

1974

19 Б883. Термодинамическая вероятность процесса гидратации силикатов кальция. Бутт Ю. М., Каушанский В. Е. «Изв. АН СССР. Неорган. материалы», 1974, 10, № 5, 947—949

Рассчитаны станд. энергии Гиббса гидратации силикатов кальция Ca_3SiO_5 (I), $\beta\text{-Ca}_2\text{SiO}_4$ (II), $\gamma\text{-Ca}_2\text{SiO}_4$ (III), $\alpha\text{-CaSiO}_3$ (IV) и $\beta\text{-CaSiO}_3$ (V), протекающей при 25° с образованием гидросиликата кальция состава $2\text{CaO}\cdot\text{SiO}_2\cdot1,17\text{H}_2\text{O}$. Полученные величины равны $-19,8$, $-2,4$, $-1,4$, $+4,28$ и $+5,08$ ккал/моль для I—V соотв. Для процессов гидратации III и V была рассчитана т-рная зависимость энергии Гиббса процесса гидратации $\Delta G_t^0(\text{III}) = -4253,45 + 4,96 \cdot T - 8,48 \cdot 10^{-3} \cdot T^2 + 10,52 \cdot 10^5 / T - 2,13 \cdot 10^{-3} \cdot T \lg T$ и $\Delta G_t^0(\text{V}) = 1359,66 - 4,96 \cdot T + 1,04 \cdot 10^{-3} \cdot T^2 + 8995,5 / T + 2,13 \cdot 10^{-3} \cdot T \lg T$. Сделан вывод, что если при нормальной т-ре наиболее интенсивно подвергается гидратации I, то при повышенных т-рах возможна гидратация III и V. П. М. Чукров

(ΔGf)

X. 1974 N 19

X·CaO·SiO₂

1974

(Tz)

142255h High temperature transformation of pure calcium
germanates. Boikova, A. I.; Domanskii, A. I. (Inst. Silic.
Chem., Leningrad, USSR). *Cem. Concr. Res.* 1974, 4(5), 773-
84 (Eng). The polymorphic transformation of pure 2CaO.GeO₂
and 3CaO.GeO₂, which are the nearest crystal chem. analogous
with main cement minerals 2CaO.SiO₂ and 3CaO.SiO₂, were
studied by x-ray diffraction. X-ray patterns of the polymorphic
forms of the 3CaO.GeO₂ were obtained at ambient temp. 820°
and 1410°. The fragments of x-ray pattern of unstable modifi-
cation were obtained at 1060°. X-ray diffraction patterns of
the modification of the 2CaO.GeO₂ were received at ambient
temp. and 1480°. The lattice consts. of the modifications of
pure 3CaO.GeO₂ and 2CaO.GeO₂ are given.

C.A. 1974, 81 n22

3CaO·SiO₂
2CaO·SiO₂

11 Б810. Дифрактометрическое исследование высокотемпературных превращений германатов кальция. Бойкова А. И., Доманский А. И. «Докл. АН СССР», 1974, 214, № 3, 633—636

1974

Приведены результаты изучения полиморфизма трех- и двухкальциевого германатов — кристаллохим. аналогов главных цементных минералов — 3CaO·SiO₂ и 2CaO·SiO₂. Приведены условия синтеза германатов и данные хим. анализа их. Идентификация германатов проводилась кристаллооптич. и рентгенофазовым методами. Рентгенограммы 3CaO·GeO₂ снимались при коми. т-ре 820 и 1410°. В интервале т-р 900—1320°, где имеют место два полиморфных превращения 3CaO·GeO₂ (при 1030 и 1160°) наблюдался интенсивный распад 3CaO·GeO₂ на 2CaO·GeO₂ и CaO. Получены лишь фрагменты рентгенограммы модификации, существующей в т-риом интервале 1030—1160° и имеющей, по-видимому, моноклинную решетку. Приведены параметры элементарной ячейки двух триклинических и гексагон. модификаций 3CaO·GeO₂. Переход устойчивой при ком. т-ре γ = 2CaO·GeO₂ в высокот-рию α = 2CaO·GeO₂ наблюдался при 1480°. Представлены рентгенограммы этих модификаций и параметры их элементарных ячеек.

(T_{tz})

X. 1974

VII

Автореферат

Ca₃Si₂O₇ (T_{tr}) IX-4911 1974

Fierens P., Picquet P.,

Silic Ind., 1974, 39 (12), 353-7.

Kinetic aspects of the nonisothermal synthesis of silicates rich in calcium.

①

5 ④

C.A. 1975, 82 n22, 148847v

1974

Ca_2SiO_4

8 Б446. О кристаллохимическом аспекте полиморфных превращений двухкальциевого силиката. Казак В. Ф., Доманский А. И., Бойкова А. И., Илюхин В. В., Белов Н. В. «Кристаллография», 1974, 19, № 6, 1179—1185

Рассмотрены полиморфные переходы двухкальциевого силиката в свете строения его модификаций. Отмечена руководящая роль Са в перестройки структуры и приспособленч. роль кремнезема. Автореферат

исследование
не перед

2. 1975. N8

Ca₂SiO₄ ВФ 4833-1X 1974

11 Б1116. Определение перехода $\beta \rightleftharpoons \alpha_L'$ в Ca₂SiO₄ при [давлениях] до 7 кбар. Klement William, Jr., Cohen Lewis H. Determination of the $\beta \rightleftharpoons \alpha_L'$ transition in Ca₂SiO₄ to 7 kbar. «Cem. and Concr. Res.», 1974, 4, № 6, 939—943 (англ., рез. нем.)

(T_{Tz}) Методом ДТА с использованием установки гидростатич. давл. до 7 кбар изучено фазовое превращение $\beta \rightleftharpoons \alpha_L'$ в Ca₂SiO₄ (I). Установлено, что т-ра фазового перехода линейно повышается с увеличением давл. с $701 \pm 2^\circ$ при давл. 1 бар до $767 \pm 2^\circ$ при давл. 7 кбар со средней скоростью $10,5 \pm 0,5$ град/кбар. Обратное превращение $\alpha_L' \rightarrow \beta$ всегда наблюдается на $20\text{--}30^\circ$ ниже независимо от приложенного давл., что, по-види-

x 1975 NII

мому, обусловлено тормозящим действием примесей в I (содержание их до 0,5 вес. %), стабилизирующих фазу α_L' . Изменение объема при фазовом переходе $\beta \rightarrow \alpha_L'$ из ур-ния Клаузиуса-Клайперона составляет $0,19 \pm 0,01$ см³/моль, изменение энтропии перехода от давл. является очень незначительным. Стабильная при низких т-рах форма γ -I при нагревании также переходит в α_L' при 847—880° при давл. 1 бар, но повышение давл. существенно снижает т-ру этого перехода и тройная точка $\alpha_L' \rightarrow \beta \rightarrow \gamma$ расположена при значениях несколько кбар. Ниже этого значения давл. равновесия в тройной точке переход $\beta \rightleftharpoons \alpha_L'$ соответствует только метастабильному равновесию.

И. С. Шаплыгин

Ca₂SiO₄

B91-4833-1X

1974

66493j Determination of the $\beta \leftrightarrow \alpha_L'$ transition in calcium silicate to 7 kbar. Klement, William, Jr.; Cohen, Lewis H. Sch. Eng. Appl. Sci., Univ. California, Los Angeles, Calif.). *Jm. Cancer. Res.* 1974, 4(6), 939-43 (Eng). DTA in hydrostatic app. to 7 kbars shows that the $\beta \rightarrow \alpha_L'$ transition temp. in Ca₂SiO₄ linearly increases from 701 \pm 2° at 1 bar at the rate of 1.5 \pm 0.5°/kbar. The $\alpha_L' \rightarrow \beta$ transition temp. is obsd. some 20-30° lower than the $\beta \rightarrow \alpha_L'$ transition and no variation in this hysteresis with pressure is indicated.

(Ttr)

C.A/1975 82 N10

Са₂SiO₄

1975

13 Б444. О полиморфизме и стабилизации высокотемпературных модификаций двухкальциевого силиката.
Бутт Ю. М., Тимашев В. В., Бикоау М. Я. «Гр. Моск. хим.-технол. ин-та им. Д. И. Менделеева», 1975,
вып. 87, 3—9

(Tzr)

Полиморфные превращения ортосиликата кальция (I) связаны с приспособлением строения минерала к соответствующим термодинамич. условиям. Предположено, что при этом способность модификаций I к аккумулированию тепла определяется ионностью Ca—O-связей и симметрией кислородного окружения атомов Ca. Показано, что стабилизация высокотрных модификаций I возможна при выполнении двух условий: а) термодинамич., обеспечивающего достаточное повышение энтропии минерала; б) кристаллохим., согласно к-рому атомы стабилизирующей добавки по своим св-вам (характер хим. связи, размер, валентность) должны быть способны к образованию тв. ф-ров замещения с I с крист. структурой, соответствующей строению высокотрных модификаций двухкальциевого силиката.

Резюме

1976/13

Ca_2SiO_4 ($T_{\text{fz}}, \Delta H$)

1975

Görlich E., Handke W. IX-5352

Spraw. pos. komis. nauk. PAN Krakowic,

1975, (1976), 19, N1, 211-214 (nomb.)

Фазы Ca_2SiO_4 в природе. мономорфные
изобретенные.

РМН Хим., 1977

LBC

15.8.93

4/pos 227

5, M (P)

Ca₂SiO₄

1975

CaAl₂O₄

Ca₁₂Al₁₄O₃₃

(Tm)

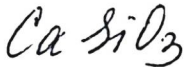
84: 9466y Calcium oxide-iron(III) oxide-aluminum oxide-silicon dioxide system. I. Pseudoternary calcium ferrate ($\text{Ca}_2\text{Fe}_2\text{O}_5$)-calcium aluminate ($\text{Ca}_2\text{Al}_2\text{O}_5$)-silicon dioxide section. Sorrentino, F. P.; Glasser, F. P. (Dep. Chem., Univ. Aberdeen, Aberdeen, Scot.). *Trans. J. Br. Ceram. Soc.* 1975, 74(7), 253-6 (Eng). Phase equil. studies were made using the quenching technique. This section has the properties of a pseudoternary system and includes compns. of the "ferrite" solid solns., $\text{Ca}_2(\text{Fe},\text{Al})\text{O}_5$, and of melilite solid solns., $\text{Ca}_2(\text{Al},\text{Fe})_2\text{SiO}_7$. The latter extend to a max. replacement of Al by Fe equiv. to $\text{Ca}_2\text{Al}_{1.0}\text{Fe}_{1.0}\text{SiO}_7$ at 1260°. This solid soln. does not melt congruently and is not a distinct compd. The equil. solv. of SiO_2 in the ferrite phase does not exceed 0.8 wt.% SiO_2 . The liquidus intersects primary phase regions of melilites, ferrites, $\text{Ca}_{12}\text{Al}_{14}\text{O}_{33}$, CaAl_2O_4 and Ca_2SiO_4 . The lowest m.p., 1290°, is a quaternary eutectic of melilite, ferrite, CaAl_2O_4 , Ca_2SiO_4 and liq.

C.A. 1976. 84 N2

(+1)



1976



86: 61068a Boundaries for silicate existence. Berezhnoi, A. S. (Khark. Politekh. Inst., Kharkov, USSR). *Dopov. Akad. Nauk Ukr, RSR, Ser. B: Geol., Khim. Biol. Nauki* 1976, (II), 995-8 (Ukrain). T-P diagrams were constructed to show stability boundaries for Ca_2SiO_4 , KAlSi_3O_8 , CaSiO_3 , $\text{Ca}_3\text{Mg}(\text{SiO}_4)_2$, ZrSiO_4 , Mg_2SiO_4 , MgSiO_3 , $\text{NaAlSi}_2\text{O}_6$, $\text{CaAl}_2\text{SiO}_6$, Al_2SiO_5 , albite and anorthite. Ca_2SiO_4 proved to be the most stable form, and its enthalpy and vol. of expansion on melting were estd. S. Santoli

(4Hm)



78

C.SI. 1977. 86. N10

Ca₂SiO₄

1976

12 Б780. О границах существования силикатов.
Бережной А. С. «Докл. АН УССР», 1976, Б, № II,
996—999 (рез. англ.)

На основе информации о св-вах силикатов и кремнезема отобраны в-ва с экстремально высокой термич. и термодинамич. стабильностью. Наиболее экстремальные значения их оказались у Ca_2SiO_4 , для к-рого оценены значения энталпии и изменения объема при плавлении. Используя ур-ния Клапейрона и Саймона, а также др. термодинамич. зависимости, найдены ориентировочные границы стабильности указанного соединения и вместе с этим — всех силикатов в координатах T — P . Отмечены нек-рые следствия полученных данных.

Резюме

X. 1977. N/12

1976

$3\text{CaO}\cdot\text{SiO}_2$

10 В10. Химия твердого состояния трехкальциевого силиката. Singh N. B. Solid state chemistry of tricalcium silicate. «J. Sci. and Ind. Res.», 1976, 35, № 2, 75—87 (англ.)

Обзор. Рассмотрены методы получения $3\text{CaO}\cdot\text{SiO}_2$ (I), его св-ва, крист. структура, природа фазовых переходов, тв. р-ры на основе I и окислов металлов, механизм замещения ионов в решетке I, электрич. св-ва тв. р-ров, механизм гидратации I. Библ. 136. Э. Г. Раков

обзор

2. 1977 № 10

CaO·1,1SiO₂·H₂O 17 Б977. Термодинамика образования метасиликата кальция. Абрамян Р. М., Григорян Г. О., Такгезян Г. О. «Изв. АН СССР. Неорганические материалы», 1977, 13, № 3, 481—484

1977

(дис.)

В калориметре переменной температуры с изотермической оболочкой при 298°К измерены энталпии превращения в 3,62%-ном растворе соляной кислоты хлорида кальция CaCl₂ и искусственно полученного кристаллического метасиликата кальция группы тоберморита состава CaO·1,1 SiO₂·H₂O (I), равные $18,101 \pm 0,607$ и $20,314 \pm 0,968$ ккал/моль соответственно. С использованием литературных данных вычислена стандартная энталпия образования I, равная $-468,7 \pm 1,6$ ккал/моль. Методом рентгенофазового анализа определены межплоскостные расстояния в решетке I и методом ТГА исследовано поведение I при нагревании.

П. М. Чукров

Х. 1977 № 17

$\text{CaO} \cdot 1.1\text{SiO}_2 \cdot \text{H}_2\text{O}$

1977

(14f)

86: 178440g Heat of formation of calcium metasilicate.
Abovyan, R. M.; Grigoryan, G. O.; Takgezyan, G. O. (Inst. Akad. Nauk
Gisich. Neorg. Khim., Erevan, USSR). Izv. Akad. Nauk
SSSR, Neorg. Mater. 1977, 13(3), 481-4 (Russ). The heats of
soln. of $\text{CaO} \cdot 1.1\text{SiO}_2 \cdot \text{H}_2\text{O}$ and CaCl_2 in 3.62% aq. HCl were detd.
calorimetrically at 25° at diln. ratio 1:55. From exptl. and
handbook data, the std. heat of formation of $\text{CaO} \cdot 1.1\text{SiO}_2 \cdot \text{H}_2\text{O}$ is
 $-468.7 \pm 1.6 \text{ kcal/mol.}$

c. A. 1997. 26° N24

X Cal. $YSiO_2 \cdot Z H_2O$

1977

(mb)

Bain T, et al

298-900

more II, comp. 121-125.

298-1000

~~298-1500~~



(Cu Ag) I

$3\text{CaO}\cdot\text{SiO}_2$ 1977
(mb)

Barin I, et al
mon II, comp. 120

298-1800

● (Ca_x Ag)_I

$3\text{CaO} \cdot 2\text{SiO}_2$
(mb)

1977

Barin Y, et al

moec II, cusp. 118

298-1400

• $(\text{CaO} \text{ SiO}_2)I$

$2\text{CaO} \cdot \text{SiO}_2$ (s)

1977

$2\text{CaO} \cdot \text{SiO}_2$ (s) Barin I, et al

298-1100

mon II, cmp. 118, 119

298-2403

(Cu Ag) I

2CaO · SiO₂ ugr. (D.G.) A-3287 1974

Сибирь, Алтайский край
(местн. Св-Ба, пакри)

Borgianni C., Granati P.

Metall. Trans., B 1977, 8B (1), 147-51

Thermodynamic properties of silica-
fes and of alumino-silicates from
Monte Carlo calculations.
C.A. 1977, 86, N20, 14648n 5, II

1974

Ca₂SiO₄

Кристалл. структур.

14 Б403. Кристаллическая структура $\alpha\text{-Ca}_2\text{SiO}_4$. Gawa S., Urabe K., Yapo T. The crystal structure of $\alpha\text{-Ca}_2\text{SiO}_4$. «Rev. 31st. Gen. Meet. Techn. Sess., Tokyo, 1977.» Tokyo, 1977, 23—25 (англ.)

Рентгенографически изучена кристаллическая структура $\alpha\text{-Ca}_2\text{SiO}_4$ (I), одного из основных компонентов портландцемента. Соединение получено нагреванием стехиометрической смеси CaCO_3 , BaCO_3 и SiO_2 , отвечающей составу $\text{Ca}_{1.4}\text{Ba}_{0.6}\text{SiO}_4$ до 1500° в течение 3 час. Нагреванием полученного тонкого порошка I в смеси с флюсом BaCl_2 в течение 10 час. при 1500° получены кристаллы 0,2 мм в диам. Отобраны под поляризацией микроскопом неоднокристаллические кристаллы. Установлено, что I кристаллизуется в одной из возможных гексагон. ф. гр.: $P6_2c$, $P6_3mc$ или $P6_3/mmc$. На основании синтеза трехмерной ф-ции Паттерсона (150 отражений, автоматич. дифрактометр), а также электронномикроскопич. исследований утверждается, что кристалл представляет собой микродвойник. В каждом домене все атомы (за исключением нек-рых атомов O) расположены в частных положениях. Домены разориентированы друг относительно друга на 120° .

М. И. Яновская

Х. 1974, № 14

Ca₂SiO₄

1977

23 Б442. Повторное определение структуры β -силиката кальция. Jost K. H., Ziemer B., Seydel R. Redetermination of the structure of β -dicalcium silicate. «Acta crystallogr.», 1977, V33, № 6, 1696—1700 (англ.)

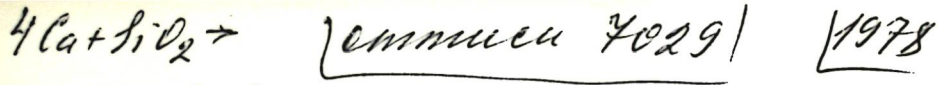
Проведено повторное определение структуры (дифрактометр, λ Mo, МНК по 895 отражениям до $R=0,048$) $\beta\text{-Ca}_2\text{SiO}_4$. Кристаллы монокл. a 5,502, b 6,745, c 9,297 Å, β 94,59°, ρ (выч.) 3,326, $Z=4$, ф. гр. P_{21}/n . Несмотря на систематич. ошибки при первоначальном определении структуры, настоящая работа подтверждает основные выводы ее. Структура состоит из почти неискаженных тетраэдров SiO_4 ($\text{Si}-\text{O}$ 1,61—1,65 Å) и полиэдров CaO_x . Атом $\text{Ca}_{(1)}$ окружен 7 атомами O , образующих искаженную пентагон. бипирамиду с экваториальной плоскостью, параллельной (101). $\text{Ca}_{(2)}$ окружен 8 атомами O в виде искаженного антикуба. Рас-

исслед.

стабил.

21. 1977 № 23

стояния Ca—O в обоих полиэдрах, несмотря на различные коорд. ч., приблизительно одинаковы (2,37—2,88 Å). Полиэдры CaO_x образуют колонки, параллельные [010]. Колонки построены из антикубов $\text{Ca}_{(2)}$ вдоль оси 2_1 , сочлененных по граням, и бипирамид $\text{Ca}_{(1)}$, также связанных с ними по граням. Колонки связаны между собой только по ребрам и вершинам. На основании исследования структур различных силикатов, высокая гидравлич. активность $\beta\text{-Ca}_2\text{SiO}_4$ объясняется высокой координацией Ca атомами Ca (коорд. ч. равно 17) малыми среди расстояниями Ca—Ca (3,58 Å) и сочленением CaO_x полиэдров по граням. В. П. Мартовицкий



Clark R. R

(all peakwise) Thermochim. acta

1978, 26 49-56

Heat of reaction...

Ca₂SiO₄

1978

89: 189183p The polymorphism of dicalcium silicate. Fergus, John Howard, Jr. (Lehigh Univ., Bethlehem, Pa.). 1978. 133 pp. (Eng). Avail. Univ. Microfilms Int., Order No. 7815809. From *Diss. Abstr. Int. B* 1978, 39(3), 1304-5.

(Ttr)

C.A. 1978. 89 n22

1978

Ca₂SiO₄ 3 Б762. Термохимическое исследование стабильности
ортосиликатов и ортогерманатов. Köther V. W.,
Müller Franz. Thermochemische Untersuchung zur
Stabilität von Orthosilicaten und -germanaten. «Z. anorg.
und allg. Chem.», 1978, 444, № 7, 77—90 (нем.)

Теплоты образования ΔH (обр. из окислов, кдж) двойных оксидов — ортогерманатов и ортосиликатов, измеренные в высокотемпературном калориметре в расплаве $2\text{PbO} \cdot \text{B}_2\text{O}_3$ при 967 ± 2 К, составили: $\underline{\text{Ca}_2\text{SiO}_4} = 149,2 \pm 1,7$, $\underline{\text{Sr}_2\text{SiO}_4} = 209,0 \pm 0,2$, $\underline{\text{Ba}_2\text{SiO}_4} = 265,5 \pm 1,8$, $\underline{\text{Cd}_2\text{SiO}_4} = 37,7 \pm 0,6$, $\underline{\text{Ca}_2\text{GeO}_4} = 133,9 \pm 1,5$, $\underline{\text{Sr}_2\text{GeO}_4} = 161,9 \pm 2,2$, $\underline{\text{Ba}_2\text{GeO}_4} = 232,2 \pm 1,0$, $\underline{\text{Cd}_2\text{GeO}_4} = 37,8 \pm 0,8$. Проведено сопоставление с лит. данными, значения ΔH (обр.), S и $C_p(T)$ табулированы для высоких т-р. Рассмотрены соотношения между структурой и термохим. стабильностью двойных оксидов в квазибинарных системах $\text{AO} - \text{BO}_2$, где А — двухвалентный металл, В = Si или Ge. Результаты представлены в графич. виде для структур A_2BO_4 типа оливина, шпинели и фенакита. Отсутствие соединений Cu_2SiO_4 и Cu_2GeO_4 связывается с влиянием на термодинамич. стабильность эффекта Яна — Теллера для иона Cu^{2+} имеющего конфигурацию $t_{2g}^6 e_g^3$. Библ. 51.

Л. А. Резников

ΔH_f

on 36497

№ 6

Х. 1979/13

Ca₂SiO₄

1978

8 Б432. Модификация высокого давления Ca₂SiO₄ — силикат со структурой K_2NiF_4 ; кристаллохимическое и геофизическое приложение. Liu Lin - g u n. High pressure Ca_2SiO_4 , the silicate K_2NiF_4 -isotype with crystalchemical and geophysical implications. «Phys. and Chem. Miner.», 1978, 3, № 3, 291—299 (англ.)

*Кристал.
сострукт.*

Под действием лазерного луча (т-ра 1000°) в диапазоне давл. 220—260 кбар оливиноподобная модификация Ca₂SiO₄ переведена в новую, ранее неизвестную фазу высокого давл. (I), для к-рой рентгенографически (метод порошка) установлена структура типа K_2NiF_4 (II). I поддается закалке и в обычных условиях характеризуется параметрами тетрагональной решетки: a 3,564, c 11,66 Å, $Z=2$, ф. гр. $I4/mmm$. Одновременно с I образуется ранее известная перовскитоподобная модификация, не поддающаяся закалке, для к-рой параметр a кубич. решетки при давл. 150 кбар равен 3,56 Å. Соединения A_2BX_4 со структурой II представляют собой сочетание структурных минералов состава ABX_3 (структурой перовскита) и AX (структурой $NaCl$) и, как пока-

2.16.74.118

зат детальный кристаллохим. анализ, во всех случаях характеризуются менее плотной структурой, чем их структурные составляющие ABX_3 и AX . На этом основании полагается, что соединения A_2BX_4 со структурой II, и следовательно I, неустойчивы в условиях высокого давл., и что I должно в этих условиях либо распадаться на 2 фазы (со структурами перовскита и $NaCl$), либо переходить в более устойчивую модификацию высокого давл. Подобное преобразование зафиксировано, в частности, при изучении оливиноподобной модификации Ca_2GeO_4 , к-рая переходит в диапазоне давл. 100—200 кбар в структуру типа I и далее при давл. 200—250 кбар в новую модификацию с пока не выясненной структурой. Поскольку шпинелеподобная фаза Mg_2SiO_4 при высоком давл. распадается на $MgSiO_3$ и MgO , то предполагается, что устойчивая в условиях высокого давл. модификация Ca_2SiO_4 , к-рая может проявиться в мантии Земли, не может обладать структурой типа шпинели. Приведены значения I , $d(hkl)$ рентгенограммы порошка I. С. В. Соболева

Ca₂SiO₄

1978

18 Б407. Кристаллические структуры модификаций Ca₂SiO₄ и их фазовые переходы. Udagawa S., Uragabe K. The crystal structures of the modifications of Ca₂SiO₄ and their phase transformations. «Rev. 32nd Gen. Meet. Sem. Assoc. Jap. Techn. Sess., Tokyo, 1978. Sympses.» Tokyo, 1978, 31—33 (англ.).

Получены новые структурные данные для известных фаз Ca₂SiO₄ на основе уточнения МНК структур γ -фазы ($R=0,037$) и β -фазы, стабилизированной 1,6% Al₂O₃ ($R=0,044$), и расшифровки структуры α_L' фазы. Проведено сопоставление структур фаз γ , β , α_L' , α_H' , α и рассмотрены топотаксич. соотношения при переходах между ними. Фаза γ необратимо переходит в α_L' , α -фаза может обратимо переходить в α_H' или β . Фаза α_H' обратимо переходит в α , а β необратимо в γ . При переходе $\alpha \rightarrow \alpha_H'$ происходит небольшое смещение атомов относительно двойниковой плоскости α -фазы, при $\alpha_L' \rightarrow \beta$ происходит двойникование кристаллов β фазы из-за эквивалентного смещения атомов в структуре α_L' . При переходе $\beta \rightarrow \gamma$ происходит значительная перестройка структуры с изменением упаковки слоев из атомов O.

П. А. Сандомирский

Р.1979, N18

1979

Ca₃SiO₅

(Tz)

B97-17-57429

Б469. Полиморфизм силиката кальция (три кальций силиката). Новые рентгенографические данные. Regourd Micheline. Polymorphisme du silicate tricalcique. Nouvelles données de la diffraction des rayons X. «С. г. Acad. sci.», 1979, АВ289, № 1, В17—В20 (франц.; рез. англ.)

Рентгенографическое (метод порошка, дифрактометр) и ДТА исследование полиморфного разнообразия Ca_3SiO_5 (I) выявило наличие кроме шести известных полиморфных модификаций новой монокл. (псевдоромбич.) модификации, обозначенной как M_{11y} , устойчивой в т-ром интервале 1060—1070°. Все семь модификаций I синтезированы при добавлении стабилизирующей присадки ZnO (0,5%). По параметрам решетки новая модификация M_{11y} сходна с известной модификацией M_{11a} , устойчивой между 980 и 990° и отличается от нее лишь характером отклонения отношения осей псевдогексагон. базиса a/b от $\sqrt[3]{3}$: парамет-

Q. 1980. N2

* решеток: M_{IIa} a 12,333, b 7,137, c 25,442 Å, $a/b = 1,728$, т. е. $\sqrt{3}-0,004$; M_{III} a 12,372, b 7,123, c 25,440, $a/b = 1,737$, т. е. $\sqrt{3}+0,005$. В соответствии с полученными данными последовательность полиморфных превращений для стабилизированных примесью

ZnO модификаций I имеет вид: $T_I \xrightarrow{690^\circ} T_{II} \xrightarrow{920^\circ} T_{III} \xrightarrow{980^\circ} M_{Ia} \xrightarrow{990^\circ} M_{IIa} \xrightarrow{1060^\circ} M_{III} \xrightarrow{1070^\circ} R$ (T — прикл. модификации, M — монокл., R — ромбоэдрич. С. В. Соболева

гр.

Ca₃SiO₅

39-IX-5729 1979

12 E593. Полиморфизм трехкальциевого силиката.
Новые данные рентгеновской дифракции. Polymorphisme du silicate tricalcique. Nouvelles données de la diffraction des rayons X. Regourd Micheline. «C. R. Acad. sci.», 1979, AB289, № 1, B17—B20 (франц.; рез. англ.)

*фазов.
превращ.*

Методом рентгеновской дифракции с использованием высокотемпературной камеры Гинье исследовались фазовые превращения в кристаллах Ca₃SiO₅. Удалось идентифицировать фазу M_{II}, обнаруженную ранее посредством оптич. микроскопии. Фаза M_{II} стабильна в узком интервале т-р 1060—1070° С. Она имеет моноклинную, псевдоорторомбич. ($\beta=90^\circ$) симметрию, группа R3m; параметры решетки $a=12,372$, $b=7,123$, $c=25,440$ Å.

А. И. Коломийцев

Ф. 1979 № 12

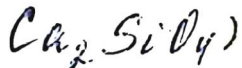
1979

2 Б412 К. Гидросиликаты кальция. Синтез монокристаллов и кристаллохимия. Илюхин В. В., Кузнецов В. А., Лобачев А. Н., Бакшутов В. С. М., Наука, 1979. 184 с., ил. 1 р. 80 к.

Книга

Р.1979.112

1980

*Tz**B9 - 17 - 57411*

21 Б407. Структурно близкие фазы дикальцийсиликата. Barnes P., Fentiman C. H., Jeffery J. W. Structurally related dicalcium silicate phases. «Acta crystallogr.», 1980, A36, № 3, 353—356 (англ.)

Отмечается, что для соединения Ca_2SiO_4 (I) известно 5 полиморфных модификаций: γ , β , α_L , α_H и α , из к-рых 4 последних характеризуются близкими структурами, пр-ными от структурного типа низкотрногого K_2SO_4 . Ряд авторов полагает, что фаза β (подобно фазе α) существует в виде двух фаз: низко-(β_L) и высоко-(β_H) т-рной. С целью уточнения характера полиморфного разнообразия I проведено рентгенографич. исследование (метод порошка, дифрактометр) в т-рном диапазоне от комн. т-ры до 1543 К (не включающем фазовый переход $\alpha_H \rightleftharpoons \alpha$). Образцы I получены взаимодействием CaO и SiO_2 при т-ре 1773 К; их стехиометрич. состав и гомогенность подтверждены данными, полученными с помощью сканирующего электронного микроскопа. Определены след. параметры решеток: β -фаза при 293 К монокл. a 5,515, b 6,752, c 9,294 Å, β 94,34°; β -фаза при 993 К монокл., a 5,444,

*X. 1570**N. 21*

b 6,802, c 9,419, β 93,28°; α_L' -фаза при 1043 К, ромбич.,
 a 11,150, b 6,820, c 18,822; α_L' -фаза при 1293 К ромбич.,
11,207, 6,849, 18,952; α_h' -фаза при 1543 К ромбич.,
11,227, 6,865, 19,110. Фазы α являются сверхструктурами по отношению к β и характеризуются удвоенными значениями параметров a и c . Анализ зависимости параметров решеток от температуры показал, что во всем диапазоне устойчивости (от 293 до 993 К) фаза β не претерпевает полиморфного превращения и представлена одной фазой. Результаты проведенного исследования с учетом данных ДТА позволили предложить для I в изученном диапазоне температур следующую схему полиморфных превращений для структурно близких фаз α и β (не включающую структурно существенно отличную фазу γ):

$\beta \rightleftharpoons$ (фазовый переход
1393 К
1-го рода), $\alpha_D' \rightleftharpoons$ (фазовый переход 2-го рода)
1693 К

$\alpha_h' \rightleftharpoons$ (за пределами условий эксперимента) α . Фазы β и α_L' при определенных условиях переходят в фазу γ . Отмечается, что структурно фаза β и все фазы α отличаются лишь относительной ориентировкой изолированных тетраэдров SiO_4 .

С. В. Соболева

Ca₂SiO₄

1980

93: 248451g Differential thermal analysis of phosphate--stabilized calcium silicate (Ca_2SiO_4). Halle, R.; Carin, V. (Res. Dep., JUCEMA, Zagreb, Yugoslavia). *Therm. Anal., [Proc. Int. Conf. Therm. Anal.]*, 6th 1980, 1, 409-14 (Eng). Edited by Wiedemann, Hans G. Birkhaeuser: Basel, Switz. The

Tt'c

lowering of the peak temp. for phase transformations of α' -H- Ca_2SiO_4 into the α - Ca_2SiO_4 modification was studied by DTA on samples doped with $\text{Ca}_5(\text{PO}_4)_3\text{OH}$ at various levels. The phase transition temp. as a function of P_2O_5 % incorporated in Ca_2SiO_4 was detd.

C.A. 1980. 93 v26

Ca_2SiO_4

1980

полиморф -
физи.

11 Б402. Механизм стабилизации полиморфизма Ca_2SiO_4 . Udagawa Shigekazu, Urabe Kazuyuki, Yano Toyohiko. Stabilization mechanism of polymorphisms of Ca_2SiO_4 . «Rev 34th Gen. Meet. Cem. Assoc. Jap. Techn. Sess., Tokyo, 1980. Synops.» Tokyo, 1980, 37—39 (англ.)

Высокотемпературные модификации Ca_2SiO_4 (β , α_L^1 и α), устойчивые выше 1000° , в обычных условиях метастабильны и существуют лишь при наличии в решетке примесных катионов Ba^{2+} и Sr^{2+} . Сравнение данных рентгенографич. исследования (метод порошка) образцов Ca_2SiO_4 при т-рах около 1000° , а также образцов систем $(\text{Ca}_{1-x}\text{Ba}_x)_2\text{SiO}_4$ и $(\text{Ca}_{1-x}\text{Sr}_x)_2\text{SiO}_4$ $x=0,0-$

X, 1982, 19, N 11.

0,3), полученных закалкой от т-ры 1150°, позволило выявить структурную природу стабилизирующего влияния добавок Ba^{2+} и Sr^{2+} на высокот-ные модификации. Эти катионы локализуются в структуре в положениях с 10-ти кратной координацией (Y) и обусловливают сохранение характерного для высокот-ных фаз большого объема многогранников YO_{10} при низких т-рах. При отсутствии в решетке этих катионов при понижении т-ры многогранники YO_{10} сжимаются и вследствие возникающих структурных напряжений высокот-ные фазы не сохраняются.

С. В. Соболева

Ca₂SiO₄

1980

1 Б1066. Дифференциальный-термический анализ стабилизированного фосфатом Ca₂SiO₄. Halle R., Carls V. Differential thermal analysis of phosphate-stabilized Ca₂SiO₄. «Therm. Anal. Proc. 6th Int. Conf., Bayreuth, 1980. Vol. I», Basel e. a., 1980, 409—414 (англ.)

Методом ДТА изучено влияние добавок Ca₅(PO₄)₃OH (конц-ии от 0 до 12,53 вес.% P₂O₅) на т-ру фазового перехода типа $\alpha' \text{ и} \rightarrow \alpha$ в Ca₂SiO₄. При т-рах 25—1450° С наблюдается пять полиморф. превращений (все эндотермические), из к-рых самый интенсивный $\alpha' \text{ и} \rightarrow \alpha$ -переход приходится на т-ру $T_c = 1445^\circ\text{C}$. Обнаружено, что добавка фосфата уменьшает т-ру перехода до 948° С (при 11,1 вес.% P₂O₅). График зависимости T_c от кол-ва добавленного фосфата распадается на два прямолинейных участка с точкой пересечения при 5 вес.% P₂O₅. Показано, что при конц-иях более 11 вес.% P₂O₅ стабилизируется α -фаза, в области 5—11 вес.% P₂O₅ — α' -фаза, а ниже 5% P₂O₅ — β -фаза. И. Н. Бекман

X. 1982, 19 АБ, N1.

1980

 $\text{CaO}/\text{SiO}_2 = 0,5$

5 В6. Синтез гидросиликатов кальция $\text{CaO}/\text{SiO}_2 = 0,5$ в гидротермальных условиях. Stevula Ladislav, Petrovič Ján. Syntéza kalciumsilikáthydrátov $\text{CaO}/\text{SiO}_2 = 0,5$ za hydrotermálnych podmienok. «Silikáty», 1980, 24, № 4, 341—346 (словац.; рез. рус., англ.)

Изучен синтез чистых гидросиликатов кальция состава $\text{CaO}/\text{SiO}_2 = 0,5$ в гидротермальных условиях при 100—350°. Методом рентгенофазового анализа исследовано влияние дисперсности, состава исходных продуктов, степени превращения кварцевое стекло \rightarrow β -кристобалит \rightarrow β -кварц, а также добавок K_2O или KF на состав продуктов гидротермального процесса. Установлено, что в процессе гидротермального синтеза образуются смешаннослоистые фазы трускотита и гиролитам, а также апофиллит и цеофиллит.

Резюме

2. 1981. N'5

1980

 $\gamma\text{-Ca}_2\text{SiO}_4$

17 Б402. Уточнение кристаллической структуры $\gamma\text{-Ca}_2\text{SiO}_4$. Udagawa S., Urabe K., Natsume M., Yano T. Refinement of the crystal structure of $\gamma\text{-Ca}_2\text{SiO}_4$. «Cem. and Concr. Res.», 1980, 10, № 2, 139—144 (англ.; рез. япон.)

Проведено рентгеноструктурное исследование (дифрактометр, λMo , 581 отражение, МНК в анизотропном приближении, $R=0,037$) кристаллов $\gamma\text{-Ca}_2\text{SiO}_4$, полученных от стехиометрич. смеси CaCO_3 и SiO_2 с применением флюсов CaCl_2 или $\text{Ca}(\text{NO}_3)_2$ при т-ре 1450° . Кристаллы ромбич., $a = 5,081$, $b = 11,224$, $c = 6,778 \text{ \AA}$. Структура является производной от оливина (Ол) и образована искаженной гексагон. плотнейшей упаковкой атомов O, половина октаэдрич. пустот к-рой заселена атомами Ca, а $1/8$ —

*кристал.
структур.*

2 1980 № 14

атомами Si. Межатомные расстояния в октаэдрах CaO_6 2,311—3,441, в тетраэдрах SiO_4 1,618—1,653 Å, углы OSiO 104,7—112,4, OCaO 81,8—121,7°. Связи Ca—O удлинены, а CaO_6 -октаэдры являются более искаженными по сравнению с октаэдрами в Ол. Расстояния Si—O приблизительно такие же, как и в структуре Ол. Сокращение расстояний O—O, по которым соединяются друг с другом октаэдры CaO_6 , и увеличение расстояний Ca—O связано с катион-катионным отталкиванием в Ол-цепочках. Значит, различия в степени увеличения расстояний Ca—O и Si—O при нагревании [связи Ca—O значительно удлиняются, а Si—O остаются практически неизменными (Lager G. A., Meagher E. P., Am. Mineral, 1978, 63, 365)] могут быть причиной фазового перехода в $\alpha'\text{L}\text{-Ca}_2\text{SiO}_4$.

В. Б. Калинин

Ca₂SiO₄

1980

*разработан
перевод*

1) 19 Б903. Изучение фазовых переходов в Ca₂SiO₄ в высокотемпературной рентгеновской камере для монокристаллов. Udagawa Shigekazu, Urabe Kazuyuki, Yano Toyohiko, Natsume Mikiyo. «Егё кёкайси, Yogyo kyokaishi, J. Сегам. Soc. Jap.», 1980, 88, № 1017, 285—291 (япон.; рез. англ.).

В прецизионной высокот-рной рентгеновской камере исследованы фазовые переходы CaSiO₄. Найдены след. топотаксиальные соотношения между кристаллографич. модификациями: переход $\gamma \rightarrow \alpha'_L$ $a_\gamma \parallel a_{\alpha'_L}$, $b_\gamma \parallel b_{\alpha'_L}$,

$c_\gamma \parallel c_{\alpha'_L}$; переход $\alpha'_L \rightarrow \alpha'_H$ $a_{\alpha'_L} \parallel a_{\alpha'_H}$, $b_{\alpha'_L} \parallel b_{\alpha'_H}$, $c_{\alpha'_L} \parallel c_{\alpha'_H}$, интенсивность рефлексов сверхструктуры

X. 1980 N 19

α'_L фазы в ходе перехода с ростом т-ры уменьшается;
переход $\alpha'_L \rightarrow \beta$ $a_{\alpha'_L} \parallel a_{\beta}^*, b_{\alpha'_L} \parallel c_{\beta}, c_{\alpha'_L} \parallel b_{\beta}$, в β фазе
наблюдается двойникование (100); переход $\beta \rightarrow \gamma$
 $a_{\beta}^* \parallel a_{\gamma}, b_{\beta} \parallel c_{\gamma}, c_{\beta} \parallel b_{\gamma}$. На основе найденных соотно-
шений обсуждены механизмы переходов с точки зрения
движения атомов в решетке. По резюме

1981

$\gamma\text{-Ca}_2\text{SiO}_4$

/ 95: 157699u Determining the heat of incongruent decomposition of merwinite. Kosa, Ladislav; Adamkovicova, Katarina; Proks, Ivo (Inst. Inorg. Chem., Slovak Acad. Sci., 809 34 Bratislava, Czech.). *Silikaty (Prague)* 1981, 25(3), 199-208 (Eng). Temp. dependences of the relative enthalpies of phases co-existing in equil. during incongruent decompr. of merwinite (merwinite, peritectic melt) and the material balance of this reaction were used to det. the heat of incongruent decompr. of merwinite at equil. temp. $T_{eq} = 1848$ K: $\Delta H = 125 \pm 15$ kJ/mol. To det. heat of incongruent decompr. of merwinite the same change in enthalpy during the cooling of MgO had to be measured and the heat of soln. of $\gamma\text{-Ca}_2\text{SiO}_4$ and MgO had to be detd. The change in entropy due to incongruent decompr. of merwinite is $\Delta S_i = 67.5 \pm 8.1$ kJ/mol K.

ΔH_{soln}

C. A. 1981, 95, N-18.

Ca_3SiO_5
 Ca_2SiO_4

1981

J 10 Б843. Испарение трикальциевого силиката при высокой температуре. Matsumoto Kazutoshi, Sata Toshiyuki. «Нихон кагаку кайси, Nippon kagaku kaishi, J. Chem. Soc. Jap., Chem. and Ind. Chem.», 1981, № 10, 1676—1680 (яп.; рез. англ.)

Изучено испарение Ca_3SiO_5 (I) в области т-р 1423—1900° С в вакууме и 1397—1749° С в среде аргона (давл. паров воды $P_{\text{H}_2\text{O}} = 0,03 \sim 0,39$ атм). В первом интервале т-р из I и Ca_2SiO_4 (II) испаряется преимущественно CaO (III). Одновременно испаряется также конгруэнтно II со скоростью, равной примерно половине скорости испарения III. II образуется на Пв I в виде β -формы. Во втором интервале т-р из I испаряется только III по р-ции: $I_{\text{тв}} + \text{H}_2\text{O}_{(\text{г})} = \text{Ca}(\text{OH})_{2\text{т}} + \text{II}_{\text{тв}}$.

Резюме

Х. 1982, 19, № 10.

Ca₂SiO₄

1982

11 Б776. Исследование полиморфных превращений в дикальций силикате (Ca_2SiO_4) и тетрафторбериллате натрия (Na_2BeF_4) методами термосониметрии и дифференциальной сканирующей калориметрии. Studies of the polymorphic transformations of dicalcium silicate (Ca_2SiO_4) and sodium tetrafluoroberyllate (Na_2BeF_4) by thermosonimetry and differential scanning calorimetry. Holm J. L., Lønvik K. «J. Therm. Anal.», 1982, 25, № 1, 109—115: Nordic Symp. Therm. Anal., Helsinki, June 14—16, 1982 (англ.; рез. нем., рус.)

Методами термосониметрии (определение, мех. колебаний, индуцируемых объемными измерениями тв. в-ва) и ДСК изучены полиморф. превращения в Ca_2SiO_4 (I) и Na_2BeF_4 (II) в связи с определенной аналогичностью поведения I и II. Для исследования взяты поликрист. образцы I, полученного прокаливанием смесей CaCO_3 и SiO_2 при 1240 и 1550° С, и II, полученного плавлением смеси $2\text{NaF} + \text{BeF}_2$ в Pt-тигле в атмосфере

(4) 18

X. 1983, 19, N 11

N_2 . Плавящийся при $2130^\circ C$ I кристаллизуется в α -форме, к-рая переходит в α' -форму со структурой β - K_2SO_4 при $1450^\circ C$. α' -I при $725^\circ C$ переходит в γ -I с ромбич. структурой типа оливина, но при определенных условиях образуется β -I, к-рая при $670^\circ C$ также переходит в γ -I. Аналогичные превращения в II проходят при более низких т-рах: $\beta \rightarrow \gamma$ (при $125^\circ C$), $\gamma \rightarrow \alpha'$ (220°), $\alpha' \rightarrow \alpha$ ($322^\circ C$). Т-ра обр. превращений зависит от скорости охлаждения.

А. А. Захаров

ход
опп

Ca_2SiO_4

1982

98: 99149p Studies of the polymorphic transformations of dicalcium silicate (Ca_2SiO_4) and sodium tetrafluoroberyllate (Na_2BeF_4) by thermosonimetry and differential scanning calorimetry. Holm, J. L.; Loenvik, K. (Inst. Silic. Sci. High Temp. Chem., Tech. Univ. Norway, N-7034 Trondheim, Norway). *J. Therm. Anal.* 1982, 25(1), 109-15 (Eng). The polymorphic transformations of Ca_2SiO_4 and Na_2BeF_4 , were studied by thermosonimetry. The results for Na_2BeF_4 are compared with results from differential scanning calorimetry investigations. Thermosonimetry is a good and sensitive method for studying solid state transformations with high activation energies which accompany the $\alpha'\text{-Ca}_2\text{SiO}_4 \rightleftharpoons \gamma\text{-Ca}_2\text{SiO}_4$ and the $\alpha'\text{-Na}_2\text{BeF}_4 \rightleftharpoons \gamma\text{-Na}_2\text{BeF}_4$ transformations.

D(f) Na_2BeF_4

C. A. 1983, 98, N 12.

Ca_2SiO_4

ВФ-IX-7501

1982

20 Б886. Термодинамика системы $\text{CaO}-\text{SiO}_2$. Thermodynamics of the $\text{CaO}-\text{SiO}_2$ system. Lee Y. E. «CALPHAD», 1082, 6, № 4, 283—291 (англ.). Место хранения ГПНТБ СССР

Проведен крит. анализ лит. данных по термохим. св-вам соединений в системе $\text{CaO}-\text{SiO}_2$ с целью колич. описания диаграммы состояния. Получены аналитич. выражения для ΔG смешения фаз и парц. мольные G . Показано, что $\alpha\text{-Ca}_2\text{SiO}_4$ (I) стабилен выше 1700 К, для р-ции 2CaO (тв.) + SiO_2 (кристобалит) = I $\Delta G = -86303,50 - 34,338$ ТДж, что существенно отличается от лит. данных в области 1700—1800 К. Диаграмма состояния системы $\text{CaO}-\text{SiO}_2$, построенная на основе термохим. данных, хорошо согласуется с эксперим. данными Муана. Подобный подход к построению диаграмм состояния существенно расширяет возможности машинного расчета диаграмм состояния многокомпонентных систем. Библ. 20.

Л. А. Резницкий

X. 1983, 19, N 20

Ca_2SiO_4

Bφ-X-7501

1982

98: 41726h Thermodynamics of the calcium oxide-silicon dioxide system. Lee, Y. E. (Technol. Cent., Elkem Met. Co., Niagara Falls, NY 14302 USA). CALPHAD: Comput. Coupling Phase Diagrams Thermochem. 1982, 6(4), 283-91 (Eng). The available thermochem. data for the system CaO-SiO₂ were analyzed and an expression for the free energy of mixing of the liq. phase was obtained. This expression can be used to obtain phase diagram and activity data, as well as the free energy of formation of the compd. Ca₂SiO₄ (-86303. = -34.338 T, J/mol, with T in K).

(A_fβ)

C.A. 1983, 98, N6.

Caz SizD7(x,ni)

1982

Robinson G.R. et al.

U.S. Dep. Interior Geolog.
Survey, OPEN-FILE Re-
port 83-79, 1982, p. 204.

200-1650k

m.g.

Očit země u U.N. Vogaxobéko: 204.

$\text{Ca}_3\text{SiO}_5(\text{K}, \text{Na})$

1982

Robinson G. R. et al.

U. S. Dep. Interior Geolog.
Survey, OPEN-File Re-
port 83-79, 1982, p. 202.

200-1800K

m.g.

оценил у И.А.Хогаковского. 202

Ca_2SiO_4 (Ca, Al)

1982

Robinson G. R. et al.

U. S. Dep. Interior Geolog.

200-1800K Survey, OPEN-File Re-
port 83-79, 1982, p. 190,
192, 194, 196, 198.

ориент 4 У.А.Ходжабеков. 190, 192, 194, 196, 198

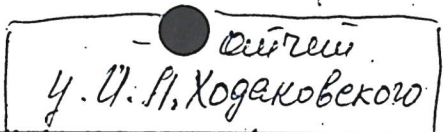
LaSiDz(x, u)

1982

Robinson G. R., et al.

U. S. Dep. Interior Geolog.
Survey, OPEN-File Report

200-1800K 83-79, 1982, p. 176, 178, 180
m.q.



176, 178, 180

Ca_2SiO_4

1982

19 Б990. Высокотемпературные рентгенографические исследования фазового превращения и процессов двойникования в монокристаллах Ca_2SiO_4 . High temperature X-ray single crystal study of Ca_2SiO_4 on phase transition and formation of twins. Urabe K., Yapo T., Iwai A., Udagawa S., Ikawa H. «Rev. 36th Gen. Meet. Cem. Assoc. Jap. Techn. Sess., Tokyo 18—20 May, 1982». Tokyo, 1982, 27—29 (англ.)

T_{tr}

Исследования механизма фазового превращения $\alpha \rightarrow \alpha_{n'}$ методом рентгеноструктурного анализа при т-рах 1350 и 1460° исследованы монокристаллы Ca_2SiO_4 . Исходные монокристаллы $\beta\text{-Ca}_2\text{SiO}_4$ получены из порошка путем его нагрева в присутствии флюса (CaCl_2) до 1350°С и последующего охлаждения со скоростью 14° С/ч. Флюс затем удалялся в результате обработки водой или этанолом. Нагрев осуществлялся в пламени газовой горелки при сгорании смеси метана, азота и кислорода. Определены характеристики структуры исследуемых фаз. Установлено, что a имеет гексагон.

1983, 19, N 19

структурой, состоящую из 2 типов элементарных ячеек. $\alpha_{n'}$ имеет ромбич. структуру типа $\beta\text{-K}_2\text{SO}_4$ и содержит две пары октаэдров SiO_4 с различной ориентацией. На основе проведенных исследований сформулирован механизм превращения $\alpha \rightarrow \alpha_{n'}$. Показано, что в процессе превращения облегчается формирование в структуре двойников.

В. Е. Смирнов

^{5b}
Fe—
—)

Ca₃SiO₅

1982

5 Б459. Структура и свойства силикатов кальция.
Struktur und Eigenschaften von Calciumsilikaten. Wogzala H. «Z. Kristallogr.», 1982, 159, № 1—4, 135—136
(нем.)

В системе CaO—SiO₂ известно 2 соединения:
Ca₃SiO₅ (I) и проявляющееся в нескольких полиморфных модификациях Ca₂SiO₄ (II). Для фаз I характерно образование различных гидратов, служащих основой пром. цементов. Различная способность фаз I и II к образованию гидратов трактуется с точки зрения различий в их структурах и, в частности, различиями в характере сочетания координац. многогранников вокруг Ca.

С. В. Соболева

(I) ~~II~~

X. 1983, 19, N5

Ca_2SiO_4

1983

) 5 Б3177. Характеристика микроструктуры легированных модификаций дикальцитсиликата. Microstructural characterization of doped dicalcium silicate polymorphs. Ghose A., Chopra S., Young J. F. «J. Mater. Sci.», 1983, 18, № 10, 2905—2914 (англ.)

При обжиге в течение 90 мин при 1450° образцов состава CaO/SiO_2 с соотношением 2:1 и содержащих добавки BaO , B_2O_3 и P_2O_5 получены стабильные модификации β - и α' -фаз Ca_2SiO_4 . Образцы исследованы методами ДТА (фазовый переход $\alpha' \rightleftharpoons \alpha$) и после полировки и протравливания 0,5% р-ром $\text{C}_2\text{H}_5\text{OH} + \text{HNO}_3$ на сканирующем электронном микроскопе, с помощью электронного микроанализатора и с помощью электронной просвечивающей микроскопии. Найдено, что безотносительно к добавке, все β -модификации имеют схожую слоистую структуру, возникающую путем двойникования вдоль плоскости (100). В этой фазе присутствовали до-

ж. 1984, 19, N5

менные структуры. В каждом препарате наблюдались также фазы с аморф. границами зерен. Кристаллы α' -фазы обычно содержат поля напряжений и дислокации. Только добавки BaO стабилизируют четкие границы зерен. Установлена взаимосвязь между хим. активностью образцов и присутствием в них дислокаций и полей напряжений.

В. А. Ступников

[Om. 16940]

1983

2CaO·SiO₂

Froves F.W.,

T_r;

J. Mater. Sci., 1983
18, N^B, 1615-1624.

Ca_2SiO_4

1983

10 Б2023. Полиморфизм и трансформация $\beta\text{-Ca}_2\text{SiO}_4$.
Polymorphism and transformation of $\beta\text{-Ca}_2\text{SiO}_4$. Hanic F., Karálík I., Figuš V., Strácelský J.
«Trans. and J. Brit. Ceram. Soc.», 1983, 82, № 6, 205—
207 (англ.)

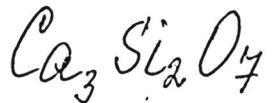
Предпринято рентгенографич. высокот-рное исследование (дифрактометр, при т-рах до 1200 К) фазового разнообразия Ca_2SiO_4 , характера полиморфных превращений и, в частности, процесса изменения при нагревании метастабильной модификации β , устойчивой лишь при наличии в структурах стабилизирующих добавок B_2O_3 , Cr_2O_3 , $\text{Ca}_3(\text{PO}_4)_2$, CaNaPO_4 , CaO . Нагреванием CaCO_3 и SiO_2 при т-ре 1870 К получена модификация γ . При нагревании γ до 1200 К с последующим охлаждением до 900 К получена монокл. модификация β , к-рая при синтезе подобным путем обнаруживает устой-

и

X. 1984, 19, N 10

чивость в чистом виде и в обычных условиях. В условиях изотермич. нагревания при т-ре в диапазоне 990—1005 К и изотермич. охлаждения в диапазоне 990—960К модификация β существует с ромбич. модификацией α_L' . Параметры решеток при 923 К: β -фаза $a = 5,53$, $b = 6,815$, $c = 9,32 \text{ \AA}$, $\beta = 93,5^\circ$; ф. гр. $P2_1/n$ α_L' -фаза $a = 2 \times 5,53$, $b = 6,815$, $c = 2 \times 9,44 \text{ \AA}$, ф. гр. $Ccm2_1$. Структуры фаз α_L' (структурный тип $\beta\text{-K}_2\text{SO}_4$) и β (искаженный структурный тип $\beta\text{-K}_2\text{SO}_4$) содержат изолированные тетраэдры SiO_4 , ориентированные вершинами вверх и вниз вдоль оси c ; в структуре b имеет место нек-рый наклон тетраэдров относительно оси c . Изучение характера теплового расширения решетки β -фазы подтвердило существование двух полиморфных разновидностей: высокот-рной β_H и низкот-рной β_L с фазовым переходом $\beta_L \rightleftharpoons \beta_H$, осуществляющимся в т-рном диапазоне 690—700 К при нагревании и 670—650 К при охлаждении. Переход $\alpha_L' \rightarrow \beta_H$ носит мартенситный характер. Коэф. термич. расширения модификаций β_L , β_H , α_L' и γ определены равными 5,9, ~0, 9,0 и $2,6 \times 10^{-5}/\text{К}$.

С. В. Соболева



1983

Róż G., Kozłowska-Róż A.

Z. Chem. Thermodyn.,

ΔG_f ; 1983, 15, N₂, 107-110.

(corr. CaSiO_3 ; F)



1983

Róż G., Kozłowska - Róż A.

ΔG_f ; Z. Chem. Thermodyn.,
1983, 15, N2, 107-110.



Ca_3SiO_5 1983
Róg G., Kozłowska-Róg
A.

ΔG_f ; 1983, 15, N₂, 107-110.
 γ . Chem. Thermodyn.,

(act. CaSiO_3 ; I)

Ciernakans Ca

1983

1983: 186667z Determination of the standard Gibbs free energies of formation of the calcium silicates by emf. measurements. Rog, G.; Kozlowska-Rog, A. (Inst. Mater. Eng., Acad. Mining Metall., 30059 Krakow, Pol.). *J. Chem. Thermodyn.* 1983, 15(2), 107-10 (Eng). The std. Gibbs free energies of formation of Ca silicates were detd. by using solid-state galvanic cells at 970-1370 K. CaF_2 was used as an electrolyte embedded in a silicate-matrix phase.

AfB;

C.A. 1983, 98, N22.

Ca₃SiO₅

1983

11 Б2040. Микроструктурные исследования продуктов гидратации трех полиморфных модификаций трикальций силиката. Microstructural studies of the hydration products of three tricalcium silicate polymorphs. Stewart H. R., Bailey J. E. «J. Mater. Sci.», 1983, 18, № 12, 3686—3694 (англ.)

Основу важнейшего пром. материала — Портландского цемента составляют компоненты C_3S , $\beta\text{-}C_2S$, C_3Al и C_4AF ($C=\text{CaO}$, $S=\text{SiO}_2$, $A=\text{Al}_2\text{O}_3$, $F=\text{Fe}_2\text{O}_3$), причем на долю силикатов кальция (гл. обр. в виде C_3S) приходится 70—80%. C_3S существует в виде 3 полиморфных модификаций: трикл. (I), монокл. (II) и тригон. (III), проявляющихся в существенной зависимости от природы примесных стабилизирующих атомов: так I образуется в присутствии Mg, III обычно содержит 0,6% F и 1,5% A, Al_2O_3 , в то время как II не содержит.



✓ 1984, 19, N 11

жит примесных ионов. Поскольку процесс гидратации цемента, сопровождающийся образованием тв. и прочных масс, является основой его пром. использования, то предпринято электронномикроскопич. исследование (сканирующий и просвечивающий электронный микроскоп) характера взаимодействия I, II, и III с водой и, в частности, характера зародышеобразования кристаллитов гидратов силиката кальция. При гидратации I дополнительно образуются прослойки $Mg(OH)_2$, а при гидратации III — $Al(OH)_3$. Характер кристаллов во всех случаях является иглообразным. На первых стадиях гидратации наблюдается бурное выделение тепла. На дальнейших стадиях гидратации, протекающих для I—III с различной скоростью, отмечается образование в случае I бруцитовых прослоек, приводящих к образованию слоистых микроструктур. Т. обр., выявлены некоторые различия в процессе гидратации I—III, обусловленные различиями в природе примесных атомов.

С. В. Соболева

$\text{La}_3\text{Si}_3\text{O}_9$

1984.

Hesse K.F.,

структура

Z. Kristallogr.; 1984,
168, № 4, 93-98

Установление кристаллической
структурной единицы стекла длины
(заработано мною ).

PAIХ N 16, 1985, 1652033

Ca₃SiO₅

1984

15 Б2014. Ромбоэдрическая структура Ca_3SiO_5 при 1200°C . The rhombohedral structure of tricalcium silicate at 1200°C . Nishi Fumito, Takéuchi Yoshio. «Z. Kristallogr.», 1984, 168, № 1—4, 197—212 (англ.)

Соединение Ca_3SiO_5 ($3\text{CaO}\cdot\text{SiO}_2$) известно в 6 полиморфных модификациях: 3 трикл., устойчивых до т-ры 980°C , двух монокл., устойчивых выше этой т-ры (одна из к-рых — $M1$ устойчива при комн. т-ре при наличии стабилизирующих добавок оксидов MgO , Al_2O_3 и др.) и ромбоэдрич. (I), устойчивой при т-ре $>1050^\circ\text{C}$ и не поддающейся закалке. Проведено рентгенографич. исследование (при т-ре 1200°C , λMo , анизотропный МНК, R 10% для 159 отражений) кристаллов I, полученных нагреванием кристаллов $M1$ состава $\text{Ca}_{2,98}\text{Si}_{0,98}\text{Al}_{0,04}\text{O}_5$ (по данным электронного микроанализатора). Параметры ромбоэдрич. решетки: a 7,135, c 25,586 Å, Z 9, ф. гр. $R\bar{3}m$. Относительно структуры $M1$ в структуре I наблюдаются след. изменения: один из 2 кристалло-

Tt₂,

X. 1985, 19, N 15

графически независимых тетраэдров SiO_4 развернут на 60° относительно оси 3, а др. статистически представлен 2 ориентировками (в отношении — 70 и 30%) вдоль оси c ; все тетраэдры SiO_4 ($\text{Si}-\text{O}$ 1,62 Å) наклонены относительно оси 3 при сохранении расположения атомов Si на этих осях. Атомы Ca, соединяющие изолированные тетраэдры SiO_4 , находятся в окружении из 5—7 атомов O (Ca—O 2,09—2,96 Å). Проведено сравнение структур I со структурами монокл. и трикл. модификаций.

С. В. Соболева

Инан
УМН

La_2SiO_4 (DM. 21695) 1984

Попов Н.Д., Султановский
Ю.Н.,

Успехи химии, 1984, 53,
столб. 66н. 9, 1425-1462.

Ca_2SiO_4

1985

12 Б2074. Структуры полиморфов двухкальциевого силиката Ca_2SiO_4 . The structures of the polymorphs of dicalcium silicate, Ca_2SiO_4 . Вагбier J., Hyde B. G. «Acta crystallogr.», 1985, B41, № 6, 383—390 (англ.)

Проведен кристаллохим. анализ полиморфизма Ca_2SiO_4 (I). В структуре полиморфов I выделены общие строит. элементы — тригон. призмы, образованные атомами Ca, внутри к-рыхложен атом Si, SiCa_6 . Эти призмы образуют колонки вдоль направления a и стенки параллельно b . Выявлено структурно-генетич. родство 4 полиморфов I — α' , β (соответствуют СТ PbCl_2), γ (соответствует СТ Ni_2In). Фазовый переход $\beta \rightarrow \gamma$ классифицирован как переход типа сдвига. Уточнена координация атомов Sr. Обсуждается полиморфизм I при высоком давлении. С. С. Мешалкин

Структура,
фазов. переход

X.1986, 19, N 12

Ca₂SiO₄

1985

№ 8 Е729. Структура и полиморфизм двухкальциевого силиката, Ca₂SiO₄. The structures of the polymorphs of dicalcium silicate, Ca₂SiO₄. Вагвег J., Hyde B. G. «Acta crystallogr.», 1985, B41, № 6, 383—390 (англ.)

На основе критич. анализа литературных данных о структуре различных полиморфов Ca₂SiO₄ сделаны заключения о кристаллохимии рассмотренных фаз. Фазы α' и β отнесены к структурному типу C23 (PbCl₂), а γ -фаза — к типу B8 (Ni₂In). Моно тропный переход $\beta \rightarrow \gamma$ и обратимый $\alpha' \rightarrow \beta$ являются переходами типа смещения. Разрушение кристаллов при $\beta \rightarrow \gamma$ превращении обусловлено большим скачком объема, а не реконструктивным его характером.

Б. Г. А.

III/2;

оф. 1986, 18, № 8

$\text{Ca}_3\text{O}[\text{SiO}_4]$

1985

16 Б2042. Трехкальциевый силикат $\text{Ca}_3\text{O}[\text{SiO}_4]$:
моноclinная сверхструктура. Tricalcium silicate $\text{Ca}_3\text{O}[\text{SiO}_4]$: The monoclinic superstructure. Nishi F., Ta-
kéuchi Y., Maki I. «Z. Kristallogr.», 1985, 172, № 3—4,
297—314 (англ.)

Проведен РСТА (λ Mo, анизотропный МНК по 3886
отражениям до $R = 9,9\%$) $\text{Ca}_{2,89}\text{Mg}_{0,11}\text{OSiO}_4$ (I). Кри-
сталлы I монокл., $a = 33,083$, $b = 7,027$, $c = 18,499$ Å, $\beta = 94,12^\circ$,
 $Z = 36$, ф. гр. Ст. Структура I построена из слоев (010),
сложенных Ca — полиэдрами, к-рые чередуются со сло-
ями, образованными полиэдрами Ca и тетраэдрами

X.1986, 19, N 16

SiO_4 . Структура I отличается от расшифрованных ранее ромбоэдрич. (*R*) и трикл. (*T*) фаз Ca_3SiO_5 ориентацией тетраэдров SiO_4 . 6 атомов Ca и 3 Si-тетраэдра расположаются вокруг псевдотройной оси, при этом часть тетраэдрич. триплетов аналогична *R*-форме, а часть — *T*-форме. Межатомные расстояния Si—O 1,58—1,67; Ca—O 2,2—3,00 Å.

С. С. Мешалкин

Ортосиликат. Са

1985

) 17 В4 Деп. К вопросу о составе и свойствах хлорортосиликата кальция. Нудельман Б. И.; Ред. «Узб. хим. ж.». Ташкент, 1985. 8 с. Библиогр. 5 назв. (Рукопись деп. в ВИНИТИ 24 мая 1985 г., № 3619—85 Деп.)

Отмечается значит. отличие в содержании хлора в ортосиликате кальция, описанных разными авторами, несмотря на полную идентичность приводимых ими структурных характеристик. Высказывается предположение о возможности хемосорбц. связей части хлористого кальция с Пв пластинчатых кристаллов хлорортосиликата кальция. Приводятся отличительные особенности тонкой структуры хлорортосиликата и его гидратации.

Автореферат

X. 1985, 19, N 14.

Ca₂SiO₄

1986

6 Б3066. Исследование влияния примесей ионов на устойчивость $\beta\text{-Ca}_2\text{SiO}_4$ и механизм стабилизации. Investigation of the effect of minor ions on the stability of $\beta\text{-C}_2\text{S}$ and the mechanism of stabilization / Feng Xiuji, Long Shizong // Proc. Beijing Int. Symp. Cem. and Concr., Beijing, May 14—17, 1985. Vol. 1.—Beijing, 1986.—С. 54—67.—Англ. Место хранения ГПНТБ СССР

Методами РФА и микроскопии изучено влияние примесей различных ионов на устойчивость $\beta\text{-Ca}_2\text{SiO}_4$ (I). Образцы I получены нагреванием смесей CaCO_3 и SiO_2 (2 : 1) при т-рах 1260—1400°С в течение нескольких часов. Добавки оксидов (Sr, Ba, Cu, Zn, Mg, Cr, Li, Fe, Ti, S, Mg, Al, V, B) составляли доли процента — несколько процентов по массе. Установлено, что влияние ионов на устойчивость $\beta\text{-I}$ связана со способностью к поляризации ионов. Если эта способность у иона меньше, чем у Ca и больше, чем у Si, такой ион будет

X. 1989, № 6

оказывать влияние на устойчивость β -I. Величину способности иона к поляризации можно оценить соотношением C^2/R , где C — заряд иона (ионная электровалентность), R — радиус иона. Обсужден механизм стабилизации β -I ионами.

Л. Г. Титов

метъ
ной

Ca₂SiO₄

1986

20 Б3193. Исследование методом дифференциального термического анализа полиморфных изменений ортосиликата кальция. Badania przemian polimorficznych ortokrzemianu wapniowego metoda termiczej analizy późnicowej. Gawlicki M. «4 Kraj. semin. St. Bretsznajdera, Płock, 17—19 wrześ., 1986. Komip.» [Płock], s. a., 53—56 (пол.)

Методом ДТА исследованы твердофазные превращения в Ca_2SiO_4 . Образцы после закалки изучены методами РФА и оптич. микроскопий. В цикле нагрева обнаружена след. последовательность переходов 795°C , 1184°C , 1443°C

$\gamma \rightarrow \alpha_L \rightarrow \alpha_H \rightarrow \alpha$. в. цикле охлаждения последовательность переходов другая $\alpha \rightarrow \alpha_H \rightarrow \alpha_L \rightarrow 1442^\circ \text{C}, 1180^\circ \text{C}, 680^\circ \text{C} \rightarrow 680^\circ \text{C} 552^\circ \text{C} \rightarrow \beta \rightarrow \gamma$. Не обнаружено фазы α_m' , о к-рой сообщалось ранее.

Г. Л. Апарников

Pt2

X, 1988, 19, N 20

Ca_2SiO_4

[Om. 25864]

1986

Hyde B. G., Sellar J. R.,
Sterngberg L.

фаровий
перехід

Acta crystallogr.,
1986, B 42, N 5, 423-
● - 429.

Ca_2SiO_4

ОМ. 25325

1986

6 Е839. Новое исследование полиморфизма Ca_2SiO_4 при высоких давлениях. High-pressure polymorphism of Ca_2SiO_4 revisited. Liu Lin-Gui, Hyde Bruce G. «High Temp.-High Pressures», 1986, 18, № 3, 317—318 (англ.)

Исследована структура Ca_2SiO_4 после закалки от 1000° С при давлениях 60 и 100 кбар. Кроме того, проанализированы рентгенодифракционные данные одного из авторов, полученные ранее в аналогичных опытах при давлении 150 и 220 кбар. Во всех случаях продукт закалки представлял собой β -фазу Ca_2SiO_4 со структурой ларнита, которая является одной из известных высокотемпературных модификаций Ca_2SiO_4 при атмосферном давлении. Т. обр., β -фаза Ca_2SiO_4 стабильна в диапазоне давлений 60—220 кбар при 1000° С. Показано, что этот Ca-содержащий силикат земной мантии при увеличении давления испытывает следующие фазовые превращения: при т-рах <500° С — оливин → ларнит → структура типа Sr_2TiO_4 ; при т-рах от 700 до 1500° С — α' -фаза → ларнит → структура Sr_2TiO_4 .

А. И. Коломийцев

Ф. 1987, 18, № 6.

Fr;

Ca_2SiO_4

1987

| 109: 83793d Studies of calcium orthosilicate polymorphism by
| differential thermal analysis. Gawlicki, M. (Inst. Build. Refract
| Mater., Univ. Min. Metall., 30-059 Krakow, Pol.). *J. Therm. Anal.*
| 1987, 32(6), 1723-5 (Eng). The polymorphic transitions of Ca_2SiO_4
| were studied by DTA. The parameters of $\beta\text{-Ca}_2\text{SiO}_4$ synthesis
| without stabilizers were established.

parametri
reflexog

C. A. 1988, 109, N 10.

Ca₃SiO₅

1986

23 Б3034. Структуры двух модификаций Ca₃GeO₅. Structures of two modifications of Ca₃GeO₅. Nishi F., Takéuchi Y. «Z. Kristallogr.», 1986, 176, № 3—4, 303—317 (англ.)

Выполнен РСТА (λ Mo, анизотропный МНК, 2494 отражения, R 3,9%) монокл. модификации Ca₃GeO₅ (I) и тригон. (II, 596, 5,9%). Параметры решетки I: a 12,546; b 7,196, c 9,515 Å, β 116,43°, Z 6, ф. гр. $P2_1/m$, для II: a 7,190, c 25,243 Å, Z 9, ф. гр. $R\bar{3}m$. Структуры I и II близки соотв. модификациям Ca₃SiO₅, но различаются по степени ориентац. разупорядочения: тетраэдров GeO₄, локализованных на оси или псевдо-оси 3. Средн. расстояния Ca—O 2,380—2,393 Å (II) и 2,439—2,392 Å (I), полиэдры вокруг атомов Ca более искажены в I, что согласуется с ее устойчивостью в низкот-рной обл. Средн. КЧ для I 6,10, для II 5,94. Наличие дополнит. отражений в I и II связано со сверхструктурой, обусловленной статистич. разупорядочением тетраэдров в процессе роста, или с образованием субмикроскопич. доменов.

С. С. Мешалкин

X.1987, 19, №23

Ca_3SiO_5

1987

1 Б2018. Кристаллическая структура новой ромбоэдрической модификации трехкальциевого силиката / / Ильинец А. М., Шебанов Н. А. // Тр. ВНИИ цемент. пром-сти.— 1987.— № 91.— С. 33—421.— Рус.

На основе полученных методом р-р — расплавной кристаллизации в системе $\text{CaCO}_3\text{—SiO}_2\text{—CaCl}_2$ с небольшими (до 2%) добавками SrO монокристаллов трехкальциевого силиката (C_3S) была проведена расшифровка атомной структуры ромбоэдрич. модификации Ca_3SiO_5 . Методом РСТА обнаружена псевдопериодичность крист. структуры Ca_3SiO_5 , к-рая проявляется в удвоении параметров решетки ($2a, c$), что отличается от ранее исследованной структуры ромбоэдрич. модификации C_3S (a, c) небольшими смещениями легких атомов, при сохранении взаимного расположения тяжелых катионов. Проанализированы причины, вызвавшие изменение крист. структуры трехкальциевого силиката, предложена атомная модель новой ромбоэдрич. модификации C_3S .

Из резюме

Кристал-
структура

Х. 1989, № 1

Ca_3SiO_5

1987

3 Б2003. О единой структурной основе полиморфных модификаций трехкальциевого силиката Ca_3SiO_5 . Ильинец А. М., Симонов В. И. «Кристаллография», 1987, 32, № 5, 1275—1180.

Проведено сопоставление атомных структур полиморфных модификаций важнейшей составляющей портландцементного клинкера — трехкальциевого силиката $\text{Ca}_3\text{SiO}_5(\text{C}_3\text{S})$. Опубликованные к наст. времени структурные данные по модификациям C_3S могут трактоваться на основе ромбоэдрич. модели Джейфри (1952 г.). Фазовые превращения между модификациями носят характер переходов типа смещения, к-рые осложнены изменением ориентации некоторых Si-тетраэдров структуры. Высокот-рная (1200°C) модификация структуры C_3S характеризуется статистич. распределением ориентаций соотв. тетраэдров.

Резюме

X. 1988, 19, N3

Ca₃SiO₅

1987

, 16 В26. Изучение гидратации легированного Al трикальциевого силиката. The studies of Al-doped tricalcium silicate hydration. Nosuń-Wczelik W., Trybalska B. «J. Therm. Anal.», 1987, 32, № 6, 1719—1722 (англ.)

С применением методов калориметрии, ДТА, ТГА и РФА изучен процесс гидратации Ca₃SiO₅ (I). Исследовались образцы, содержащие в кач-ве легирующей добавки 0,25 и 1,5% Al₂O₃, с величиной кристаллитов 0—10 и 0—60 мкм. Увеличение содержания Al₂O₃ приводит к росту скорости гидратации I, что связывается с ростом числа дефектов в кристаллах. Для I, содержащего частицы 0—10 мкм наблюдается образование как гидратированного силиката Ca, так и Ca(OH)₂.

М. Б. Варфоломеев

(ΔH)

X. 1988, 19, N 16.

Ca - Si - O / Ca-силикат

[1987]

Карбонизированный гидрометасиликат кальция — новый эффективный адсорбент для разделения природных соединений методом тонкослойной хроматографии / Г. Ш. Овсепян, Г. Б. Оганесян, В. А. Мнацаканян, Э. Б. Оганесян

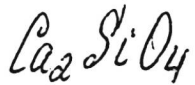
// Химия природ. соединений. — 1987. — № 1. — С. 149—151.

— 1. Кальций, силикаты — Адсорбционные свойства. 2. Природные соединения — Разделение хроматографическое. 3. Хроматография тонкослойная.

№ 60608
18 № 4177
ВКП 3.06.87
Изд-во «Книга»

УДК 543.544:541.183:547.9
ЕКЛ 17.8

1987



Rajczyk K.,

Differential Thermal Analysis
For The Investigation
OF The Phase Transition
of Dicalcian Orthosilicate
 Ca_2SiO_4 under A Reduc-
ing Atmosphere.

Л ефронетичні
малюнки

no TA u Kanopusmuseu,
ZNA, DDR, 23-28 abr.,
1987, C 68.

Ca_3SiO_5

1987.

З Б3138. Ca_3SiO_5 — полиморфизм и гидратация.
 Ca_3SiO_5 — polimorfia és hidratáció. Regouigo M. «Kém. Közl.», 1987, 65, № 2, 215—232 (венг.; рез. англ.)

Обзор исследований по изучению крист. структуры, полиморфизма и свойств тв. р-ров Ca_3SiO_5 . Обсуждены данные по различным степеням гидратации, полученные при помощи современных аналитич. методов ЯМР ^{29}Si и электронного спектроскопич. хим. анализа. Библ. 36.

Резюме

(обзор)

X. 1988, 19, N 3

La₃SiO₅

1987

- 108: 13971r Pattern decomposition techniques for x-ray diffractometry. Toraya, Hideo (Nagoya Inst. Technol., Tajimi, Japan 507). *Funtai Kogaku Kaishi* 1987, 24(9), 605-11 (Japan). A review with 19 refs. The example of ZrO₂ is discussed. M. Senna
- 108: 13972s Ca₃SiO₅ - polymorphism and hydration. Regourd, Micheline ((CERILH), Paris, Fr.). *Kemi. Kozl.* 1986, 65(2), 215-32 (Hung). A review with 36 refs. is given on the crystal structure, polymorphism, and solid solns. of Ca₃SiO₅. The various stages of hydration obtained by ESCA and ²⁹Si-NMR are discussed.

номенклатура)

C.A. 1988, 108, N2

Ca-аллекант

1988

23 Б3057. Термодинамическое моделирование на ЭВМ процессов осаждения в системе $\text{Na}_2\text{O}-\text{SiO}_2-\text{CaO}-\text{H}_2\text{O}$. Каргина Н. А. «12 Всес. конф. по хим. термодинам. и калориметрии. Тез. стенд. докл., Горький, 13—15 сент., 1988. Ч. 2». Горький, 1988, 200

Методом физ.-хим. моделирования на ЭВМ исследована система $\text{Na}_2\text{O}-\text{SiO}_2-\text{CaO}-\text{H}_2\text{O}$ с целью определения устойчивых фаз, их кол-ва, а также обл. наибольшего связывания SiO_2 . В модельных экспериментах варьировали т-ру (25—90° С), мол. кол-ва CaO (0—2,0 М) и Na_2O (0—2,5 М). Показано, что основными тв. фазами, образующимися в системе при исследуемых параметрах являются гидросиликаты кальция (ГСК) типа $\text{CaSi}_6\text{O}_{13} \cdot \text{H}_2\text{O}$, $\text{Ca}_4\text{Si}_3\text{O}_{10} \cdot 1,5\text{H}_2\text{O}$, $\text{Ca}_3\text{Si}_2\text{O}_7 \cdot 5\text{H}_2\text{O}$ и $\text{Ca}_2\text{SiO}_4 \cdot 1,17\text{H}_2\text{O}$. Возрастание кол-ва CaO в системе увеличивает число возможных устойчивых форм ГСК. Наибольшая степень связывания SiO_2 достигалась при

dp;

X. 1988, № 23

2,0 М CaO. Повышение т-ры и конц-ии щелочи снижало устойчивость высокоосновных ГСК. Непосредственное влияние на равновесный состав тв. фаз оказывали Al и Fe, к-рые образовывали соотв. соединения типа $\text{CaAl}_2\text{Si}_2\text{O}_8 \cdot 6\text{H}_2\text{O}$ и $\text{CaFe}_4\text{Si}_8\text{O}_{22}(\text{OH})_2$. Сообщается об использовании результатов для прогнозирования технологич. процессов.

По резюме



2 CaO · SiO₂

1988

17 Б3167. Влияние оксидов переходных металлов на полиморфизм ортосиликата кальция. Кушнарева М. А., Савельев В. Г., Абакумов А. В. «Высокотемператур. химия силикатов и оксидов. Тез. докл. 6 Всес. совещ., Ленинград, 19—21 апр., 1988». Л., 1988, 339.

Исследовано влияние TiO_2 , ZrO_2 , Fe_2O_3 , WO_3 , V_2O_5 , MoO_3 и MnO_2 на последовательность фазовых превращений высокочистого $2CaO \cdot SiO_2$ при охлаждении с разной скоростью препаратов, отожженных при 1300—1500° С. Установлено, что из всех исследованных оксидов только V_2O_5 — обладает стабилизирующим действием. После обжига при 1500° С он стабилизировал, в зависимости от его кол-ва, неустойчивые при обычных т-рах α -, α' - и β -формы, $2CaO \cdot SiO_2$, причем для стабилизации α - и α' -формы необходимо быстрое охлаждение. Все спеченные препараты, в к-рых после охлаждения преобладала γ -форма ортосиликата кальция, проявляли склонность к саморассыпанию в порошок.

По-всюму

X. 1988, 19, N 17

Полиморфизм

Li_2SiO_4 [Om. 30445]

1988

Rajczyk K.,

DTA,
pass.
reprez.

J. Therm. Anal. 1988,
33, N3, 741-747.

Ca_2SiO_4

1989

4 Б2112. Фазовые переходы в дисиликате кальция.
Phase transitions in dicalcium silicate / Ilinets A. M.,
Bikbau M. Ja. // Twelfth European Crystallographic
Meeting, Moscow, Aug. 20—29, 1989: Collect. Abstr.—
Vol. 2 / USSR Acad. Sci.— Moscow, 1989.— С. 78.—
Англ.

Предложена микроскопич. модель фазовых переходов,
описывающая взаимосвязь между 4-мя модификациями
 Ca_2SiO_4 . SiO_4 -тетраэдр — наиболее лабильный элемент
структурь из-за большей ковалентности Si—O связей
по сравнению с др. Амплитуды термич. колебаний Ca
и O в большей степени увеличиваются при повышении
т-ры, чем амплитуды Si—O. Мостиковые связи
Ca—O—Si аккумулируют напряжения, к-рые исчезают
при переориентации SiO_4 . В. Б. Калинин

X.1990, N4

Ca₃SiO₅

1989

№ 4 Б2033. Новая ромбоэдрическая модификация
 Ca_3SiO_5 и механизм смещений атомов при фазовом пе-
реходе. New rombohedral modification Ca_3SiO_5 and me-
chanism of atomic transformation during the phase tran-
sition / Ilinets A. M., Bikbau M. Ja. // Twelfth Euro-
pean Crystallographic Meeting, Moscow, Aug. 20—29,
1989: Collect. Abstr.— Vol. 2 / USSR Acad. Sci.— Mos-
cow, 1989.— С. 79.— Англ.

Множественность полиморфных модификаций у
 Ca_3SiO_5 связывается с возможностью вращений SiO_4
тетраэдров и небольших смещений др. атомов. Выска-
зано предположение, что при изменении условий син-
теза возможно обнаружение неизвестных модификаций
этого силиката.

В. Б. Калинин

X. 1990, N 4

Лаз Сид

1989

З Б2128. Кристаллическая структура высокотемпературной α -модификации двухкальциевого силиката / Ильинец А. М., Бикбау М. Я. // Кристаллография.— 1989.— 34, № 5.— С. 1123—1126.— Рус.

Проведено рентгеноструктурное исследование моно-кристаллов высокот-рной α -модификации двухкальциевого силиката, стабилизированных при нормальной температуре катионами Ва. Параметры решетки составили: a 11,0189, c 7,0164, ф. гр. $P31c$ или $P6_3mc$, последняя более вероятна (средн. расхождение в эквивалентных рефлексах в $P31c$, составило $\sim 10\%$, а в $P6_3mc$ — 5,6%). Уточнение структуры с учетом анизотропных параметров тепловых колебаний атомов и вторичной экстинкции дало R 0,051. Удвоенное значение параметра a элементарной ячейки по сравнению с ранее полученным с помощью высокот-рной порошковой дифрактометрии является следствием изменения ориентации части Si-тетраэдров.

По резюме

Кристал-
структура

Х. 1990, № 3

Ca₃SiO₅

1990

23 Б2067. Атомный механизм полиморфных превращений в трехкальциевом силикате / Ильинец А. М., Бикбау М. Я. // Сб. тр./ Госстрой СССР. Науч.-нож. центр строит. материаловед.— 1990.— № 1.— Рус.

Раскрыта генетич. связь кристаллографич. строения известных атомных структур трехкальциевого силиката с атомной структурой высокотрнной ромбоэдрич. модификации минерала. Механизм полиморфных атомных превращений сводится к небольшим смещениям атомов один относительно другого и изменению взаимной ориентации части кремниекислородных тетраэдров. Предлагаются возможные изменения в ориентации Si-тетраэдров, приводящие к образованию монокл. и трикл. модификаций, структуры к-рых неизвестны, но параметры элементарных ячеек определены с помощью порошковой дифрактометрии. Предположена возможность существования дополнит., неизвестных в настоящее время полиморфных фаз Ca₃SiO₅, поскольку кол-во возможных вариантов взаимной ориентации Si-тетраэдров существенно превышает кол-во известных модификаций трехкальциевого силиката.

полиморфн
треугольн.

Х. 1991, № 3

Ca₃SiO₅

1990

14 Б2045. Новая ромбоэдрическая модификация
Ca₃SiO₅ и механизм атомного преобразования при фазо-
вом переходе. New rombohedral modificaton Ca₃SiO₅ and
mechanism of atomic transformation during the phase
transition: [Pap.] 12th Eur. Crystallogr. Meet., Moscow,
Aug. 20—29, 1989: Collect. abstr. Vol. 2 / Ilinets A. M.,
Bikbau M. Ja // Z. Kristallogr.— 1990.— Suppl. № 2.—
С. 77.— Англ.

Структура

Методом РСТА ($R = 0,068$) изучена структура
высокотройной модификации Ca₃SiO₅ (I), полученной при
изучении системы CaO—SiO₂—CaCl₂ с SrO в кач-ве до-
бавки. Для гексагон. I $a = 7,056$, $c = 24,974$ Å, $Z = 36$, ф. гр.
 $R\bar{3}m$. Особенность структуры I состоит в различной ори-
ентации тетраэдрич. групп SiO₄, к-рые образуют трипле-
ты, тянувшиеся вдоль оси 3 порядка. Показано, что все
модификации Ca₃SiO₅ можно получить из I переориен-
тацией и поворотом на 60° тетраэдров SiO₄, прогнози-
руется структура неизвестных модификаций Ca₃SiO₅.

X. 1991, N 14

Ca_2SiO_4

1990

5 Е796. Структурный механизм полиморфных превращений двухкальциевого силиката, Ca_2SiO_4 . Ч. I. Атомное строение полиморфных модификаций / Ильинец А. М., Бикбау М. Я. // Кристаллография.— 1990.— 35, № 1.— С. 84—90

Сравнение атомного строения известных полиморфных модификаций Ca_2SiO_4 показало, что фазовые переходы $\alpha \rightarrow \alpha'$ и $\beta \rightarrow \gamma$ являются реконструктивными переходами первого рода, в процессе которых происходят значительные изменения в кристаллической решетке двухкальциевого силиката, в то время как при переходах $\alpha \rightarrow \alpha' \rightarrow \beta$ имеют место превращения типа смещения, что характерно для фазовых переходов второго рода. Анализ показал, что наиболее подвижными элементами при фазовых переходах в Ca_2SiO_4 являются Si-тетраэдры. Это объясняется меньшей способностью свя-

(Tet)

Ф 1990, N5.

зей Si—O (по сравнению со связями Ca—O) и акумуляции тепловой энергии из-за большей ковалентности связей Si—O. Для более высокотемпературных фаз C_2S характерна большая координация Ca-полиэдров и как следствие — большая их полимеризация. Это связано с тем, что при повышении температуры возрастающая амплитуда тепловых колебаний вызывает увеличение эффективного радиуса катионов Ca, что обуславливает необходимость повышения координации числа вокруг кальция.

Резюме

5 E797. Структурный механизм полиморфных превращений двухкальциевого силиката, Ca_2SiO_4 . Ч. II. Уточнение кристаллической структуры высокотемпературной α_L' -модификации двухкальциевого силиката Ca_2SiO_4 / Ильинец А. М., Бикбау М. Я. // Кристаллография. — 1990. — 35, № 1. — С. 91—93

$5\text{CaO} \cdot 6\text{SiO}_2 \cdot 3\text{H}_2\text{O}$ u.g.p.

1990

Пономарева О.В., Малеев Г.Р.,
Чубинская Н.И. u.g.p.

Месторождение
Сибирь Свердловск, 1990.
ISC.: Ур. Береговоз; 21 Нагб.
Рис. Den. № ВОИУТЛ 03.07.
91, № 2854-Б91.

(cell. Pt_xAs₂, T)

$\text{Ca}_3\text{Si}_0.5$, Лондеба О. В., 1990

$\text{Ca}_3\text{Si}_2\text{O}_7 \text{v.gr.}$ Сибирцев Г. К., Чубинских Н. И. и гр.

Из-м мессенгерши УрО

першог. АИ ЕССР. Свердловск, 1990.

cb-6a 15c: кн. Баджорг. 21 наизв.

Pye. Den. 8 ВОНУТУ 03.

07.91, № 2854-Б91.

(ccr. Pt As₂; $\frac{T}{T}$)

Ca_2SiO_4 [Om 37872]

1990

Taylor Y.R., Dinsdale A.T.

C_p , g_{unf} CALPHAD, 1990, 14, N1,
(panma) 71-88
(coconvnt)

Thermodynamic and phase
diagram data for the
 $\text{CaO}-\text{SiO}_2$ system

Ca_2SiO_4

1991

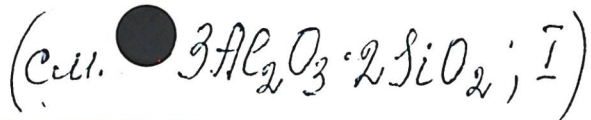
7 Б2002. Полисоматизм и структурные модели Силикатов / Чирагов М. И., Пущаровский Д. Ю. // Кристаллография.— 1991.— 36, № 5.— С. 1200—1206.— Рус.

На основе сравнит. кристаллохим. анализа соед., относящихся к трем полисоматич. сериям: 1) $\text{Ca}_4\text{Si}_3\text{O}_{10}$ — Ca_2SiO_4 , 2) $\text{Ca}_4\text{Si}_3\text{O}_{10}$ — $\text{Ca}(\text{OH})_2$, 3) $\text{Ca}_4\text{Si}_3\text{O}_{10}$ — Ca_2SiO_4 — $\text{Ca}(\text{OH})_2$, обосновано выделение в кач-ве их родоначальных минералов структурных элементов шэннонита $\gamma\text{-Ca}_2\text{SiO}_4$, портландита $\text{Ca}(\text{OH})_2$ и Ca-триортосиликата $\text{Ca}_4\text{Si}_3\text{O}_{10}$. Соотношение этих модулей определяет размер параметра c в структурах рассматриваемых соединений.

8.1992, N⁷

$\text{CaO} \cdot \text{SiO}_2$ 1991
ИГРУШ Т. Г.

Невропат. исслед. 1991.
 ΔH_f 27, № 8. С. 1773-1774.



$\text{2CaO} \cdot \text{SiO}_2$

1992

Belashchenko A. K.,
Gopengauz I. E. et al.

$\Delta_f G, \Delta_f S$

Zh. Fiz. Khim. 1992,
66 (7), 1753–63.

(crys. \bullet $\text{2MgO} \cdot \text{SiO}_2$; I)

Ca_2SiO_4

1992

10E608. Физическая стабилизация $\beta \rightarrow \gamma$ превращения в бикальциевом силикате. Physical stabilization of the $\beta \rightarrow \gamma$ transformation in dicalcium silicate / Chan Chin Jong, Kriven Waltraud M., Young J. Francis // J. Amer. Ceram. Soc.. — 1992. — 75, № 6. — С. 1621—1627. — Англ.

(Tz)

It has been shown that the monoclinic β -phase of dicalcium silicate (Ca_2SiO_4) can be stabilized against transformation to the orthorhombic γ -phase by physical rather than chemical factors. Stabilization was studied in different types of microstructures fabricated under various processing conditions such as different powder or grain sizes, chemical additives, cooling kinetics, or high-temperature annealing treatments. The observations can be explained in terms of a critical particle size effect controlling nucleation of the transformation. Rapid quenching through the high-temperature hexagonal (a) to orthorhombic (a') transformation at 1425 °C, which is accompanied by a —4.7% volume decrease, causes periodic fracture of β -twins due to accumulated strains. Chemical doping with K_2O or Al_2O_3 promotes the formation of amorphous phases which mold themselves around $\beta\text{-Ca}_2\text{SiO}_4$ grains. Annealing treatments cause crystallization of the glass and subsequent transformation to the γ -phase. Refs. 29.

© 1993, NIO

CaSiO_3

[DM-36 353]

1992

Hoch M.,

Z. Metallk. 1992, 83,

(16) N2, 84-89.

3 CaO · SiO₂

1992

7 Б3025. Исследование теплоемкости водных суспензий клинкерных минералов C_3S и C_3A /Коваленко Ю. А. //Сиб. физ.-техн. ж .—1992 .—№ 3 .—С. 11—13 .—Рус.

Теплоемкость C_p водн. суспензий $3CaO \cdot SiO_2$ (I) и $3CaO \cdot Al_2O_3$ (II) измерена в калориметре ДСК-111 при —30 и 25° С

с целью изучения состояния воды при гидратации составляющих частей цементов и бетонов. Массовая доля воды в смесях больше 0,3 для обеспечения однородной суспензии. C_p жидк. суспензий при 25° С ниже C_p аддитивн. C_p замороженных суспензий близка к C_p аддит. Предложена модель гидратации I и II, согласно к-рой гидратная оболочка на II на порядок толще, чем на I. Оболочка на I является более кристаллоподобной, что связывается с различными зарядами Пв частиц I(—) и II(+). Рыхлая гидратная оболочка на II не препятствует транспорту воды к Пв зерен, что приводит к быстрой гидратации II.

Л. А. Резницкий

(+) \otimes



X. 1993, № 7

Ca₂SiO₄

1992

9 E613. Фазовые превращения в двукальциевом силикате. Получение и фазовая стабильность мелкозернистой фазы. Phase transformations in dicalcium silicate. I. Fabrication and phase stability of fine-grained β phase / Nettleship Ian, Slavick Kurt G, Kim Youn Joong, Kriven Waltraud M // J. Amer. Ceram. Soc. — 1992. — 75, № 9. — С. 2400—2406. — Англ.

Fine-grained β -Ca₂SiO₄ containing small amounts of sodium was fabricated as an analogue to tetragonal zirconia polycrystals (TZP) in order to study the stress-induced $\beta \rightarrow Y$ transformation. This avoided the problems associated with the fabrication and evaluation of composites containing β -Ca₂SiO₄. The microstructure of dense β -Ca₂SiO₄ exhibited severe intergranular strains and twin-terminating microcracks as seen by TEM. The β -phase twin widths were quantitatively correlated with grain sizes giving an average ratio of 0.04. Stress-induced transformation was observed on ground surfaces but not on fracture surfaces. The stress-strain behavior and the mechanical properties were consistent with stress-induced microcracking and microcrack coalescence. The elastic modulus of fully dense β phase was estimated to be 123 GPa. Refs. 30.

(T₂)

φ. 1993, NG

Ca₂SiO₄

1992

16 Б3113. Фазовые превращения в Ca₂SiO₄. I. Приготовление и фазовая стабильность тонкозернистой β -фазы.
Phase transformations in dicalcium silicate: I. fabrication and phase stability of fine-grained β phase /Nettleship Ia, Slavick K. G., Kim Y. J., Kriven W. M. //J. Amer. Ceram. Soc. — 1992 .—75 ,№ 9 .—С. 2400—2406 .—Англ.

Обжигом в диапазоне т-р 800—1500° С силикатного геля, содержащего 0,7% Na₂O, получены субмикронные порошки Ca₂SiO₄. Методами рентгенографии, пикнометрии, сканирующей и просвечивающей электронной микроскопии и измерением мех. х-к исследован фазовый состав полученного продукта. В диапазоне т-р от комн. до 1400° С стабильна β -фаза с размером зерна около 1 мкм после 1 ч обжига при 1400° С, и 2 мкм после 12 ч обжига при этой же т-ре. С ростом времени обжига содержание примесной α -фазы уменьшается, и после 12 ч при 1400° С порошок состоит только из β -фазы. При 1450° С и времени 6 ч появляется γ -фаза. На ПВ образцов наблюдается индуцир. мех. напряжением превращение. Модуль упругости β -фазы составил 123 ГПа.

В. А. Ступников

(Tz)

X. 1993, #16

CaO · SiO₂

u gg.

(A_f f)

/uMg, (Vij, Wil)

*C.A. 1992,
117, N 10*

1992

117: 98668f Thermodynamic properties of the intermediate phases of x (calcium fluoride) + y (silica) + $(1-x-y)$ calcium oxide]. Zaitsev, A. I.; Litvina, A. D.; Mogutnov, B. M. (I. P. Bardin Cent. Res. Inst. Iron and Steel Ind., Moscow, Russia 107005). *J. Chem. Thermodyn.* 1992, 24(7), 737-50 (Eng). A Knudsen-effusion method with mass-spectrometric anal. of evapn. products was used to study the gaseous phase over $(xCaF_2 + ySiO_2 + (1-x-y)CaO)$ and to det. thermodn. properties of intermediate phases. The temp. range studied was 1370-1849 K. Compns. varied in the range $x = 0-1$, $y = 0-0.67$, and $(1-x-y) = 0.03-0.77$. Double effusion cells made from refractory metals ($M = Nb, Ta, Mo$) of high-purity grades were used. In the mass spectra of the scd. vapor, the ions SiF_3^+ , SiF_2^+ , SiF^+ , CaF_2^+ , CaF^+ , Ca^+ , SiO^+ , MO^+ , and MO_2^+ were detected. A method of mass-spectral decoding was developed. Expts. on isothermal evapn. of slags as well as on detn. of the vapor pressures as functions of temp. were used to calc. partial pressures. of the components. All the regions of heterogeneous equil. were studied, with the exception of those where intermediate phases did not exist. Molar Gibbs energies of formation of the intermediate phases $CaO \cdot SiO_2$, $3CaO \cdot 2SiO_2$, $2CaO \cdot SiO_2$, and $3CaO \cdot SiO_2$ were calcd. with the help of partial characteristics of CaO and SiO_2 detd. simultaneously for a no. of compns. corresponding to different phase fields of $(xCaF_2 + ySiO_2 + (1-x-y)CaO)$ as well as found by integration of Gibbs-Duhem equations. The compds. $2CaO \cdot SiO_2$ and $CaO \cdot SiO_2$ are the most stable in this system. The present molar Gibbs energies of formation of the intermediate phases are compared with literature values.

Ca₃SiO₅

1994

121: 44118r Determination of the enthalpies of formation of some calcium silicates, aluminates and aluminosilicates by dissolution calorimetry. Ayed, F.; Sorrentino, F.; Castanet, R. (Cent. Thermodyn. Microcalorim., CNRS, 13003 Marseille, Fr.). *J. Therm. Anal.* 1994, 41(4), 755-66 (Fr). The enthalpies of formation of 13 calcium silicates, aluminates, aluminosilicates and ferroaluminosilicates were measured by dissoln. calorimetry by using a high-temp. Calvet calorimeter. Dissoln. expts. were performed in a lead metaborate ($2\text{PbO-B}_2\text{O}_3$) baths at 1173 K. The synthesis of the samples was realized by melting together pure silica, alumina, ferric oxide and calcium carbonate in appropriate ratios. The samples obtained in this way were examd. by x-ray diffraction and scanning electronic microscopy. The free lime content was also detd. by chem. anal. The enthalpy of formation of silicates and aluminates obeys two different linear relations with respect to the ratio Ca/X (X=Al or/and Si) except for $\text{Ca}_{12}\text{Al}_4\text{O}_{33}$ which does not exist in its pure form but has to be stabilized by anions as OH^- or Cl^- . The data corresponding to the two aluminosilicates are located between these lines. The enthalpy of formation of tricalcium silicate (Ca_3SiO_5 i.e. C₃S according to the Bogue terminol.) from dicalcium silicate and lime could be calcd. as -6 kJ/mol.

C. f. 1994, 121, N 4

1994

$\text{CaSiO}_3 - \text{Ca}_2\text{Si}_2\text{O}_5$

122: 198083h Computer calculation of the phase diagrams of silicate systems. II. Regression treatment for systems containing incongruently melting compounds. Liska, Marek; Strecko, Jozef (Inst. Inorganic Chem., Slovak Acad. Sci., Bratislava, Slovakia 842 36). *Ceram.-Silik.* 1994, 38(2), 69-74 (Eng). An original algorithm and a FORTRAN program developed to calc. phase diagrams and/or thermodn. characteristics in simple eutectic multicomponent systems yet not exptl. measured, was extended to the systems that may contain incongruently melting compds. Addnl., enthalpy of fusion as a function of temp. was taken into account. Complete statistical anal. of results was also proposed. The method was applied to the binary system $\text{CaSiO}_3 - \text{Ca}_2\text{Si}_2\text{O}_5$ contg. the compd. rankinite ($\text{Ca}_3\text{Si}_2\text{O}_7$) which melts incongruently at the temp. of 1464°C . The enthalpy of this decompn. was estd. to be 72 kJ mol^{-1} . Other unknown parameters, i.e., the enthalpy and the heat capacity of fusion of dicalcium silicate and hypothetical temp. of fusion of rankinite were calcd. by the least squares method. The obtained values are $81.6 \pm 1.2 \text{ kJ/mol}$, $90 \pm 3 \text{ J/mol K}$ and $1497 \pm 11^\circ\text{C}$, resp.

Pay-Gulay,
Menzinger
Karaknegel -
C.Miller

C. A. 1995, 122, N 16

$\text{Ca}_3\text{Si}_2\text{O}_7$

1995

[123: 154027j] Gibbs free energy of $\text{Ca}_3\text{Si}_2\text{O}_7$ - a reassessment of electromotive force measurements. Jacob, K. T. (Materials Research Center, Indian Institute Science, Bangalore, 560 012 India). *Metall. Mater. Trans. B* 1995, 26B(3), 658-60 (Eng). In order to establish a value for the free energy of formation of $\text{Ca}_3\text{Si}_2\text{O}_7$, the expts. and reports on emf. measurements were analyzed.

(ΔF)

C.A. 1995, 12-3, N/2

1995

F: Ca₂Si₅O₁₃

P: 1

1Б272. Определение кристаллической структуры Li[2]Ca[2]Si[5]O[13].
Crystal structure determination of Li[2]Ca[2]Si[5]O[13] / Villafuerte-Castrejon
M. E., Dago A., Caldino U., Pomes R. // J. Solid State Chem. - 1995. - 114,
N 2. - С. 512-515. - Англ.

Кристаллизацией стекла, полученного сплавлением простых веществ, выращены монокристаллы Li[2]Ca[2]Si[5]O[13] (I) и выполнен их РСТА. Структура I ($M[r]$ 441,56) триклиническая, ф. гр. P1; a 7,495, b 7,749, c 10,191 Å, 'альфа' 83,28, 'бета' 68,87, 'гамма' 75,87°; Z 2; 'ро' (изм.) 2,7; 'ро' (выч.) 2,75; wR 0,037 для 1106 наблюдаемых отражений. Структура I содержит комплексный двуцепной силикатный анион $(Si[10]O[26])\{12-\}$, построенный из 4- и 5-звенных циклов силикатных тетраэдров. Li координирован тетраэдрически, пары тетраэдров сочленяются вершиной и образуют двуядерные частицы. Искаженные октаэдры вокруг Ca (Ca-O 2,268-2,632 Å) формируют бесконечные колонны. Каждый такой тетраэдр соченен всеми 4 вершинами с четырьмя смежными тетраэдрами..
Кристаллическая структура.

X, 1996, N 1

1996

F: CaSi₂O₅

P: 1

ЗБ268. Структура и кристаллохимия CaSi[2]O[5],
синтезированного при 1500{°}С и 10 ГПа: новый высокого
давления силикат кальция с пятивкоординированным
кремнием. Structure and crystal chemistry of CaSi[2]O[5]
synthesized at 1500{°}C and 10 GPa: A new high pressure
calcium silicate with fivecoordinated silicon. Collec.
Abstr. Int. Union Crystallogr 17th Congr. and Gen.
Assem., Seattle, Wash., Aug. 8-17, 1996 / Kudoh Y.,
Kanzaki M. // Acta crystallogr. A. - 1996. - 52, Suppl.
- C. 317. - Англ.

Соединение CaSi_2O_5 синтезирован при $1500^\circ\text{C}/10 \text{ гпа}$
методом РСТА. Состав $\text{Ca}[1,02]\text{Si}[1,99]\text{O}[5]$ (I) параметры
триклинной решетки: $a 7,243$, $b 7,546$, $c 6,501 \text{ \AA}$, 'альфа'
 $98,57$, 'бета' $95,18$, 'гамма' $69,90$, $V 329,5 \text{ \AA}^3$, 'ро'
(выч.) $3,55$, 1973 отражения, $R 8,0\%$, изотропные
температуры факторы, I близко родственна титаниту.
Атом Si координирован 5 атомами O. Этот факт обнаружен
впервые. Формула ячейки: { VII}Ca[3]{ VIII}Ca{ V}Si[2]{
VI}Si[2]{ N}Si[4]O[20].

1997

F: Ca₃SiO₅

P: 1

10Б238. Порядок-беспорядок в алите (замещенный Ca[3]SiO[5]). Order-disorder in alite (substituted Ca[3]SiO[5]) / Andreasen J. W. // MODUL'97: Modul. Aspects Miner.: 1st EMU Sch. and Symp., Budapest, Dec. 14-18, 1997: Program and Abstr. - Budapest, 1997. - С. 10. - Англ.

Проведено нейтронографическое изучение смеси алита (I) и белита (замещенный Ca[3]SiO[5]). Структура I определена с уточнением по Ритвельду. Значение R равно 4,46% для 3185 отражений.

F: Ca₃SiO₅

P: 3

10Б238. Порядок-беспорядок в алите (замещенный Ca[3]SiO[5]). Order-disorder in alite (substituted Ca[3]SiO[5]) / Andreasen J. W. // MODUL'97: Modul. Aspects Miner.: 1st EMU Sch. and Symp., Budapest, Dec. 14-18, 1997: Program. and Abstr. - Budapest, 1997. - С. 10. - Англ.

Проведено нейтронографическое изучение смеси алита (I) и белита (замещенный Ca[3]SiO[5]). Структура I определена с уточнением по Ритвельду. Значение R равно 4,46% для 3185 отражений.

1997

$\alpha\text{-CaSi}_2\text{O}_5$

Kudoh Y., Kanzaki M.

Phys. Chem. Minerals,
1998, 25, N6, 429-433

Структура $\alpha\text{-CaSi}_2\text{O}_5$, ковалент газор
с 5-коорд. Si



39421)

1998

Cafield

[Om. 39421]

1998

Kudoh Y., Lanzaki M.,

KRUCZAK. Phys. Chem. Minerals 1998,
vol. 25, 429-433.

Mop
MgH.

$\alpha\text{-CaSi}_2\text{O}_5$

Om. 39491

?

F: alpha-CaSi205

P: 1

6Б243. Кристаллохимические характеристики 'альфа'-
CaSi[2]O[5], нового сил кальция высокого давления с
пятоординированным кремнием, синтезированно при
1500рС и 10 ГПа. Crystal chemical characteristics
of 'альфа'-CaSi[2]O a new high pressure calcium
silicate with five-coordinated silicon synthe at
1500pC and 10 GPa / Kudoh Y., Kanzaki M. // Phys.
and Chem. Miner. - 1 - 25, 6. - С. 429-433. - Англ.

Монокристаллы 'альфа'-CaSi[2]O[5] (I) получены при
1500рС и 10 ГПа. Прове РСТА I ('лямбда'Mo, 2314
отражений, R 7,8%, триклинная решетка, ф. гр. P1 4,



а 7,243, β 7,546, с 6,501 Å, 'альфа' 81,43р, 'бета' 84,82р, 'гамма' 69,60р). Структура I близка к структуре CaTiSiO[5]. Особенностью I является наличие атомов Si координированных пятью атомами O по типу квадратной пирамиды, для такого сорта атомов межатомные расстояния Si-O находятся в пределах 1,67-1,82 Å. Расчетная величина ионного радиуса для пятикоординированного Si составляет 0,33 Å. Расчетом по методу валентных усилий показано наличие локальных внутренних напряжений для атомов Ca, что объясняется нестабильной исследованной фазой при нормальном давлении.

19.99

F: CaSiO₃

P: 1

134:285806 Equation of state of CaSiO₃ perovskite. Choudhury, Narayani; Chaplot, S. L.; Sikka, S. K. Condensed Matter Physics Division, Bhabha Atomic Research Centre, Mumbai, India. Editor(s): Mukhopadhyay, R.; Shaikh, A. M.; Godwal, B. K. Solid State Phys., Proc. DAE Solid State Phys. Symp., 41st (1999), Meeting Date 1998, 158-159. Publisher: Universities Press (India) Ltd., Hyderabad, India Conference in English.

The mineral CaSiO₃ perovskite is an important constituent of the Earth's lower mantle. Using a lattice dynamical approach, we have calcd. the phonon frequencies and equation of state of CaSiO₃ perovskite at mantle pressures. The calcd. equation of state is in good agreement with

exptl. data. While the orthorhombic phase is stable at $T = 0$ in MgSiO_3 perovskite for all pressures, our studies indicate a soft mode driven orthorhombic to cubic phase transition in CaSiO_3 perovskite. The cubic phase is stable up to 134 GPa, the pressure at the core-mantle boundary. In view of its geophys. importance, extensive exptl. studies of the equation of state in the 0-134 GPa range have been reported. We have tested the calcd. and exptl. data with theor. equations of state; while the calcns. are consistent with theor. expectations, the exptl. data show some anomalies. These anomalies cannot be explained on the basis of orthorhombic to cubic type structural phase transitions.

LaSiO_3

2000

$\text{La}_3\text{Si}_2\text{O}_7$ Birmanitas, Zonas,

Chemicja 2000, 11(4), 134-140

(DfG)

(all. OH^- ;  T)

CaSi2O5

1999

(полицент-
оружие)

F: CaSi2O5 (полимарфизм)

P: 1

01.18-19B2.25. Пентакоординатный кремний в сильно сжатых кристаллической стеклянной фазах дисиликата кальция (CaSi[2]O[5]). Pentacoordinate silico high-pressure crystalline and glassy phases of calcium disilicate (CaSi[2]O[5]) / Stebbins J. F., Poe B. T. // Geophys. Res. Lett. - 1999. N 16. - С. 2521-2523. - Англ.

Приводятся результаты ядерного магнитного резонанса для моноклинной и триклинической кристаллических фаз CaSi[2]O[5]. Овые данные по стеклянной фазе CaSi[2]O[5] при 2300РС и 10 ГПа демонстрируют, что группы {[5]}Si, а такж SiO[6] ({[6]}Si), формируются при высоких давлениях в силикатных жидкостя изобилующими несвязанными окислами и влияют на вязкость и плотность мафич и ультрамафических естественных пород. Библ. 23.

CaSi_2

2000

C_p ,
3-300 K

F: CaSi_2 , Ca_3Si_4 , $\text{Ca}_{14}\text{Si}_{19}$ ($q, 3 - 300 \text{ K}$)
P: 1

02.04-19Б3.14. Теплоемкость и термодинамические свойства некоторых силици кальция. Heat capacity and thermodynamic properties of some Ca silicides
Canepa F., Napoletano M., Manfrinetti P., Palenzona A. // J. Alloys and Compounds. - 2000. - 299, N 1-2. - С. 20-23. - Англ.

В адиабатическом калориметре при температурах 3-300 К измерены теплоемкос CaSi_2 , Ca_3Si_4 и $\text{Ca}_{14}\text{Si}_{19}$. Не обнаружено каких-либо аномалий в исследованном температурном интервале. Из данных по теплоемкости рассчита значения энтропии, энтальпии и энергии Гиббса для исследованных силицидов кальция при температуре 298 К. Библ. 9.